

Calcul de structures sous CATIA V5 – Partie III



Pascal MORENTON

pascal.morenton@ecp.fr

<http://cao.etudes.ecp.fr>

0 Rappel - Chape de roulette

1 Import de fichiers « Step »

2 Pièce axisymétrique

3 Cas d'étude - Support de canalisation

4 Cas d'étude - Triangle de suspension

5 Gestion des assemblages sous Catia V5

6 Kit de survie de l'atelier « Assembly Design »

7 Analyse d'un assemblage

8 Liste des connexions

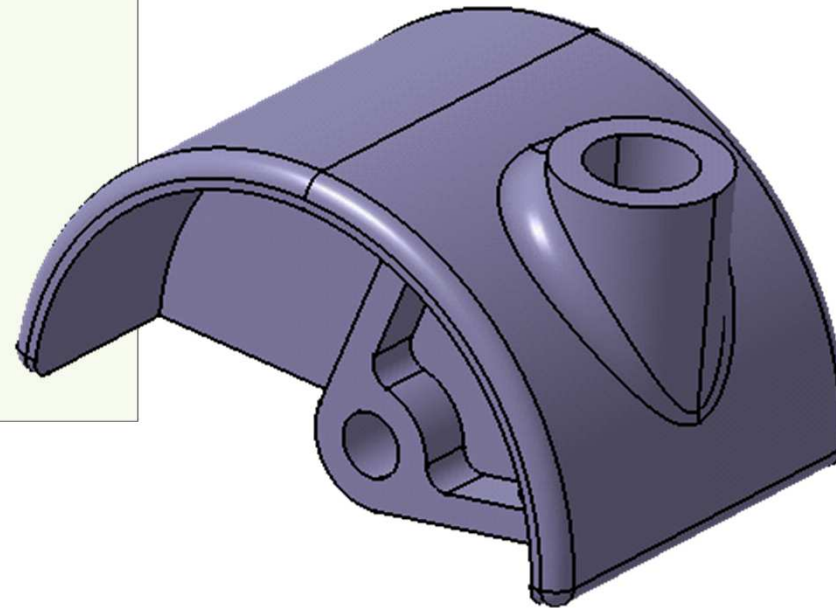
9 Exemple : barre articulée

10 Automatisation du processus d'optimisation

0 - Rappel : « Chape de roulette »

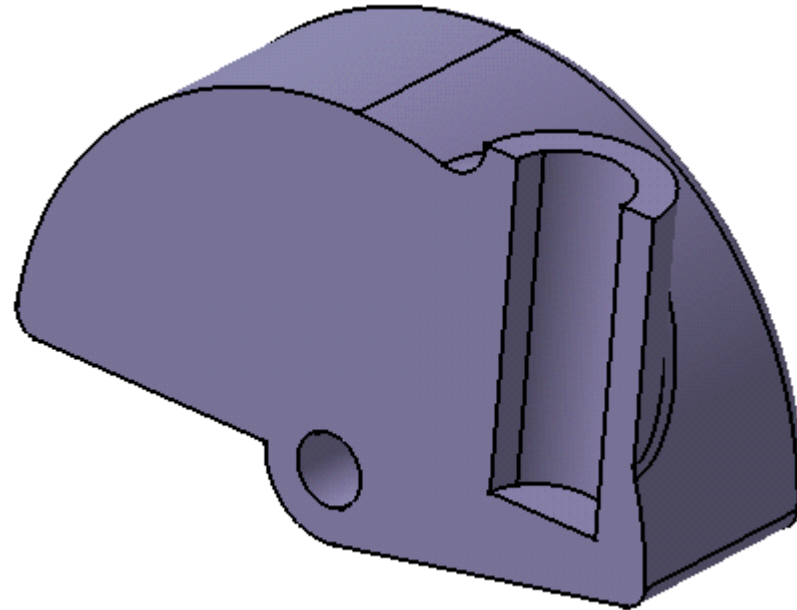


**Charge statique totale
2500 N**



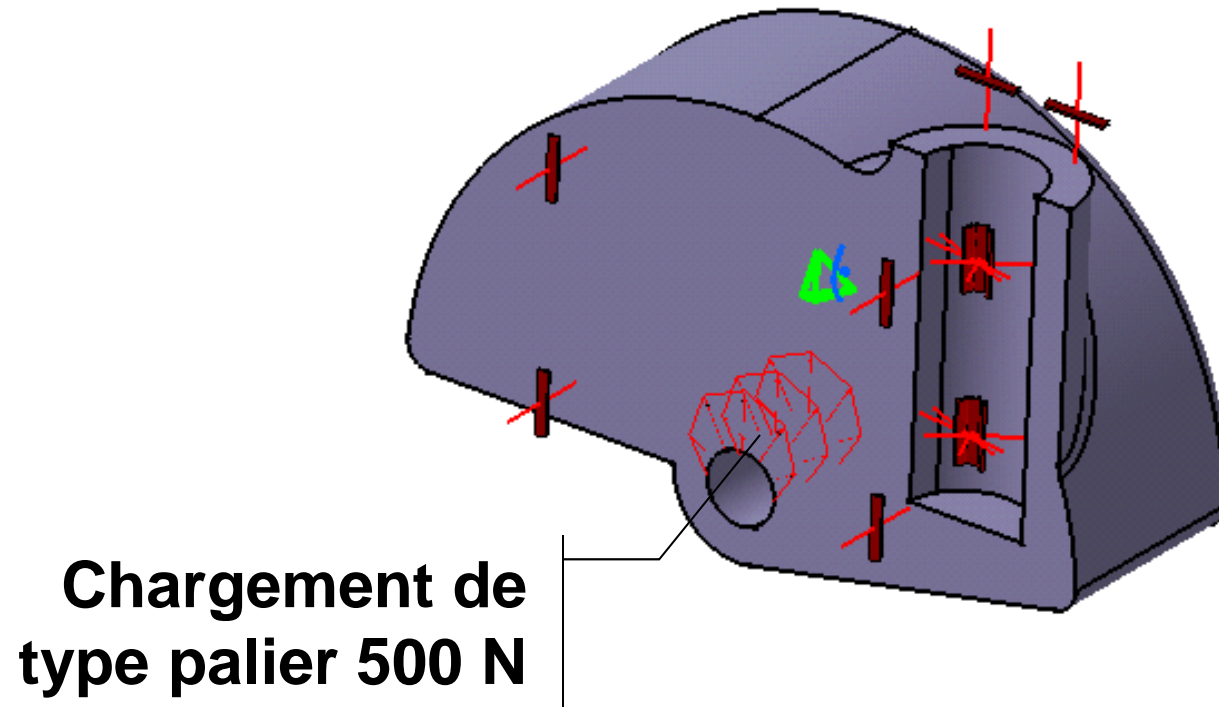
0 - Rappel : « Chape de roulette »

Préparation du modèle géométrique



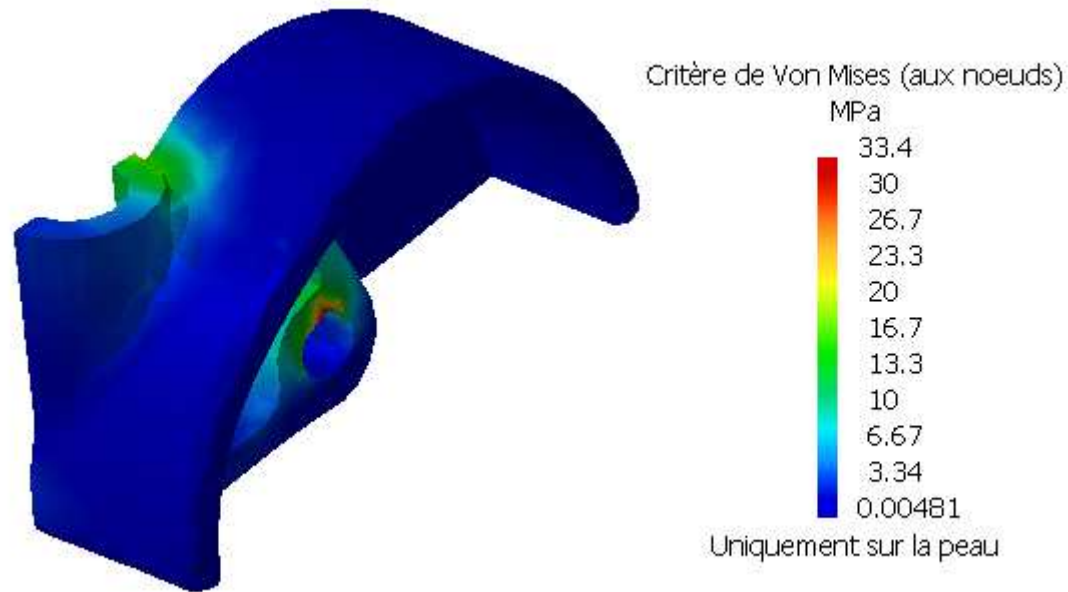
0 - Rappel : « Chape de roulette »

Chargement et contraintes aux limites



0 - Rappel : « Chape de roulette »

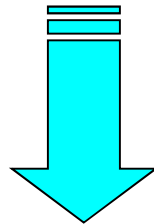
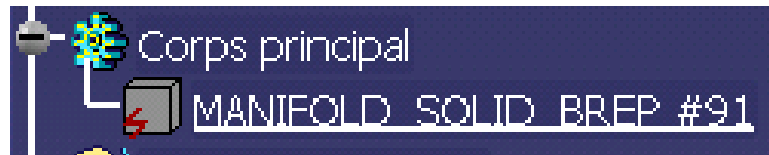
Résultats



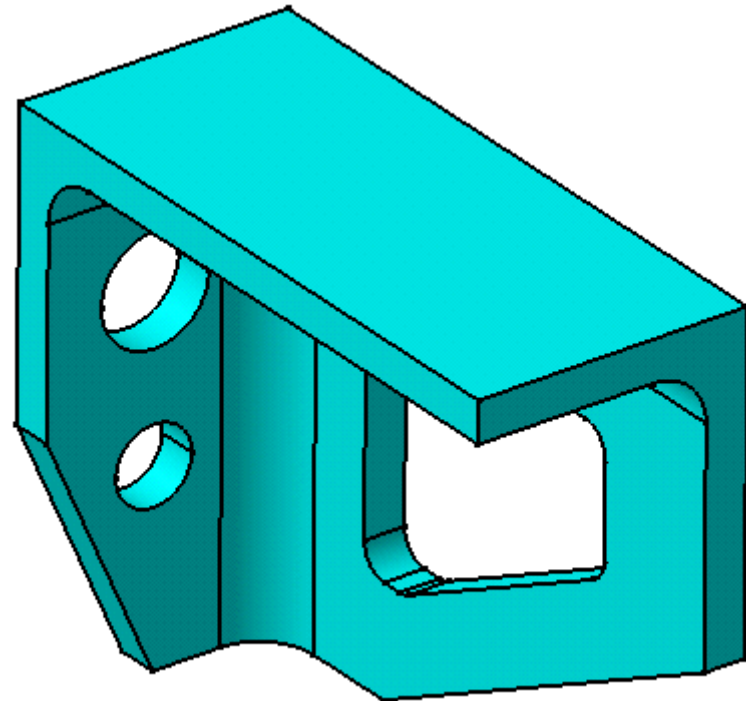
- 0 Rappel - Chape de roulette
- 1 Import de fichiers « Step »**
- 2 Pièce axisymétrique
- 3 Cas d'étude - Support de canalisation
- 4 Cas d'étude - Triangle de suspension
- 5 Gestion des assemblages sous Catia V5
- 6 Kit de survie de l'atelier « Assembly Design »
- 7 Analyse d'un assemblage
- 8 Liste des connexions
- 9 Exemple : barre articulée
- 10 Automatisation du processus d'optimisation

1 - Import de fichiers « STEP »

Import de la géométrie au format STEP

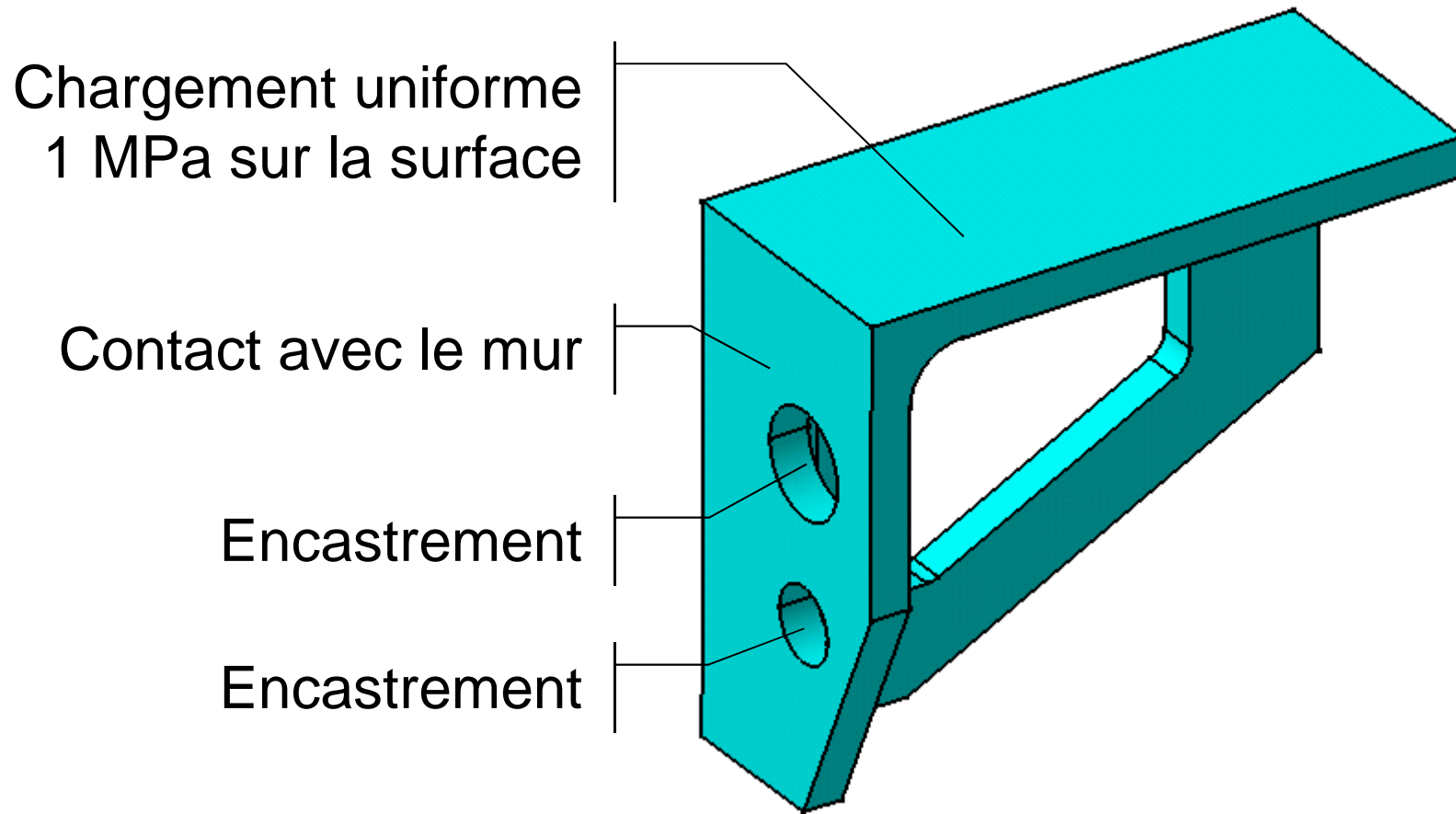


- Volume « mort » : l'arbre des spécifications n'est pas conservé lors de l'import
- Des fonctions Catia peuvent s'appuyer sur la géométrie importée



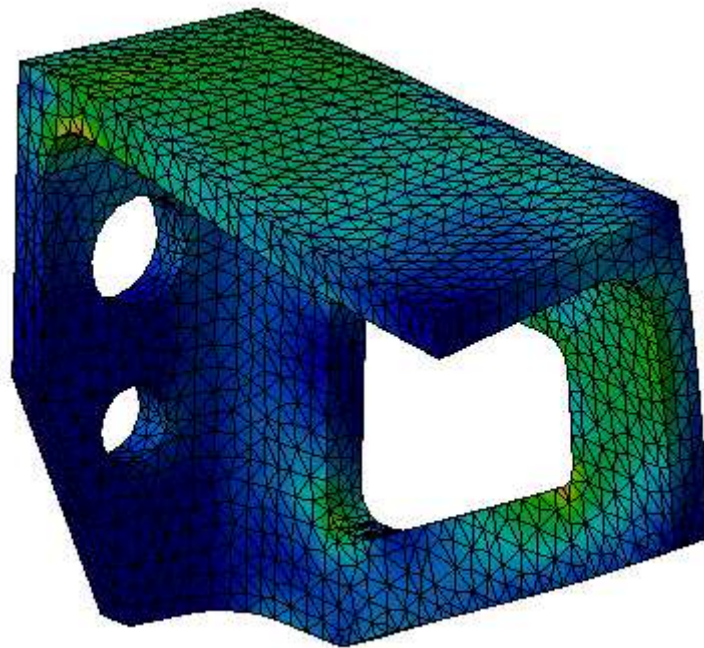
1 - Import de fichiers « STEP »

Modèle « mécanique »



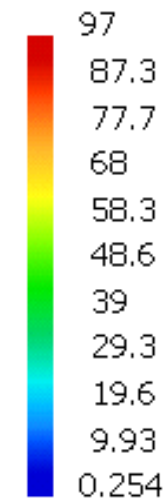
1 - Import de fichiers « STEP »

Résultat d 'analyse



Critère de Von Mises (aux noeuds)

MPa

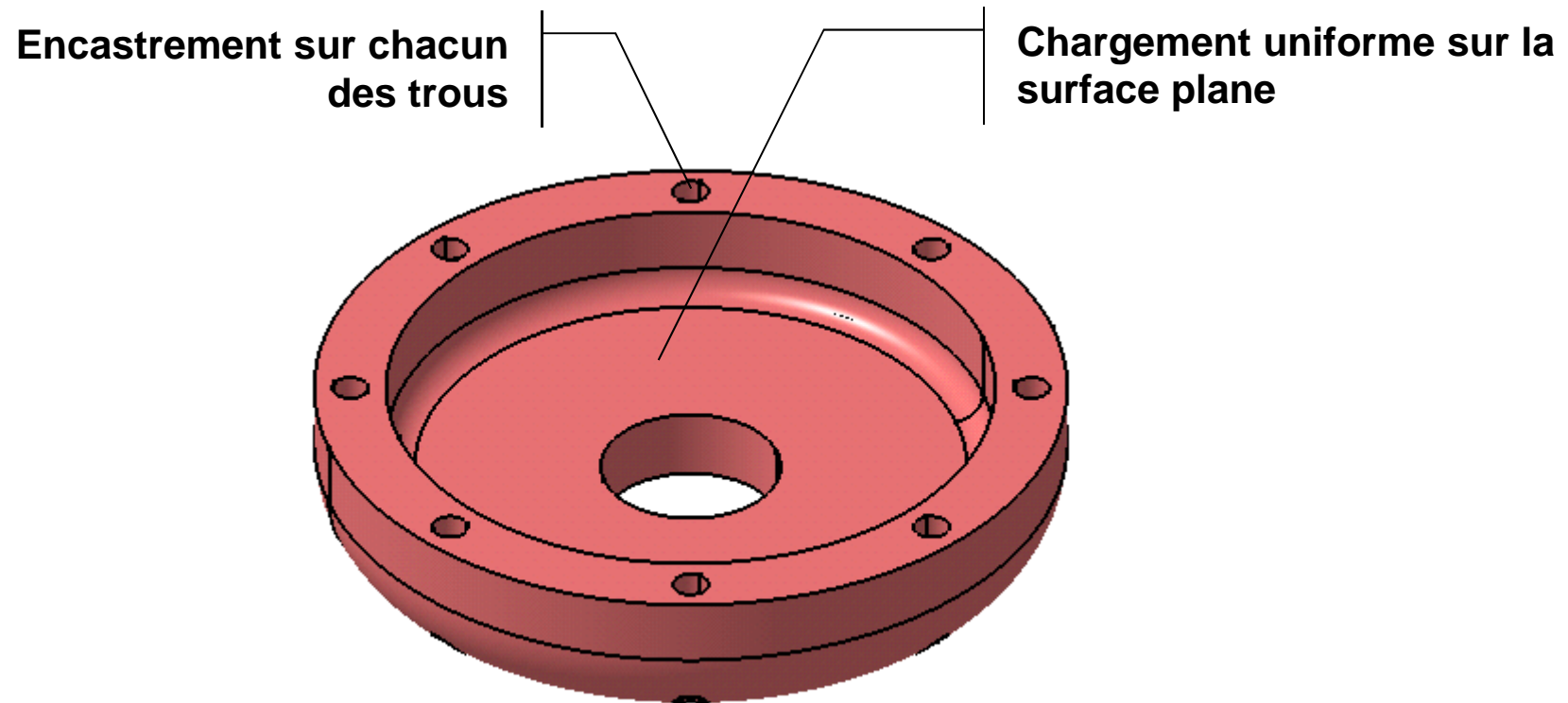


Uniquement sur la peau

- 0 Rappel - Chape de roulette
- 1 Import de fichiers « Step »
- 2 Pièce axisymétrique**
- 3 Cas d'étude - Support de canalisation
- 4 Cas d'étude - Triangle de suspension
- 5 Gestion des assemblages sous Catia V5
- 6 Kit de survie de l'atelier « Assembly Design »
- 7 Analyse d'un assemblage
- 8 Liste des connexions
- 9 Exemple : barre articulée
- 10 Automatisation du processus d'optimisation

2 - Pièce axisymétrique

Modèle mécanique



2 - Pièce axisymétrique

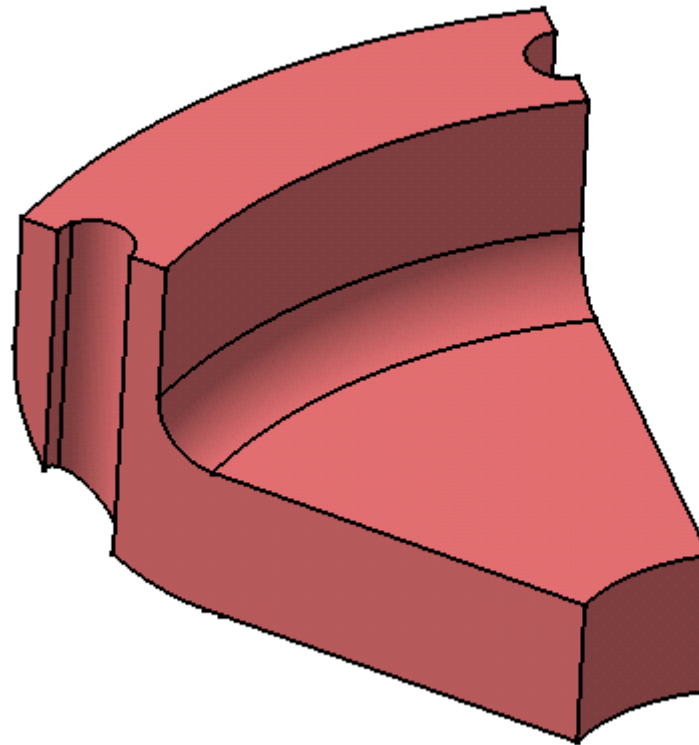
Préparation du modèle géométrique



Coupe



Plan

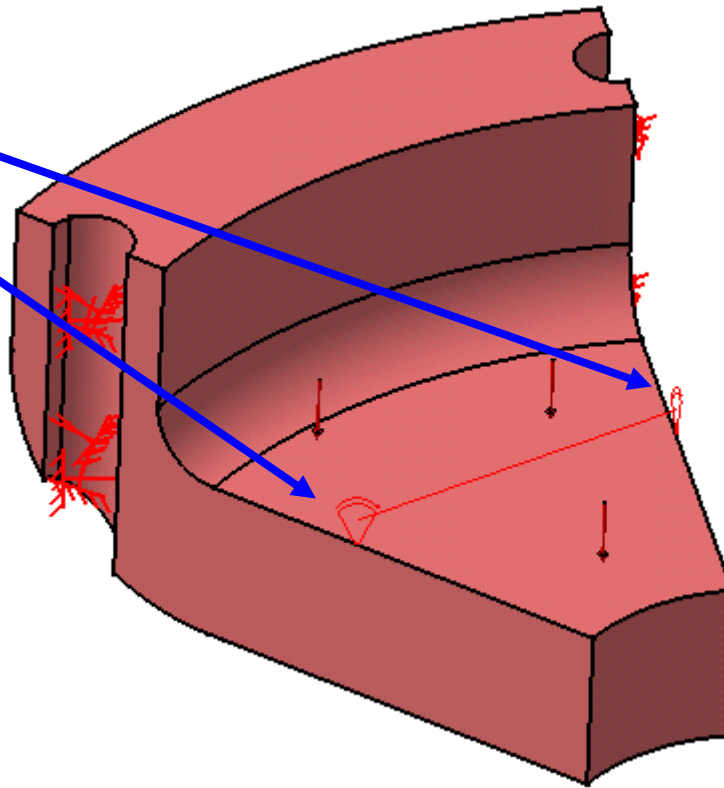


2 - Pièce axisymétrique

Modèle d 'analyse

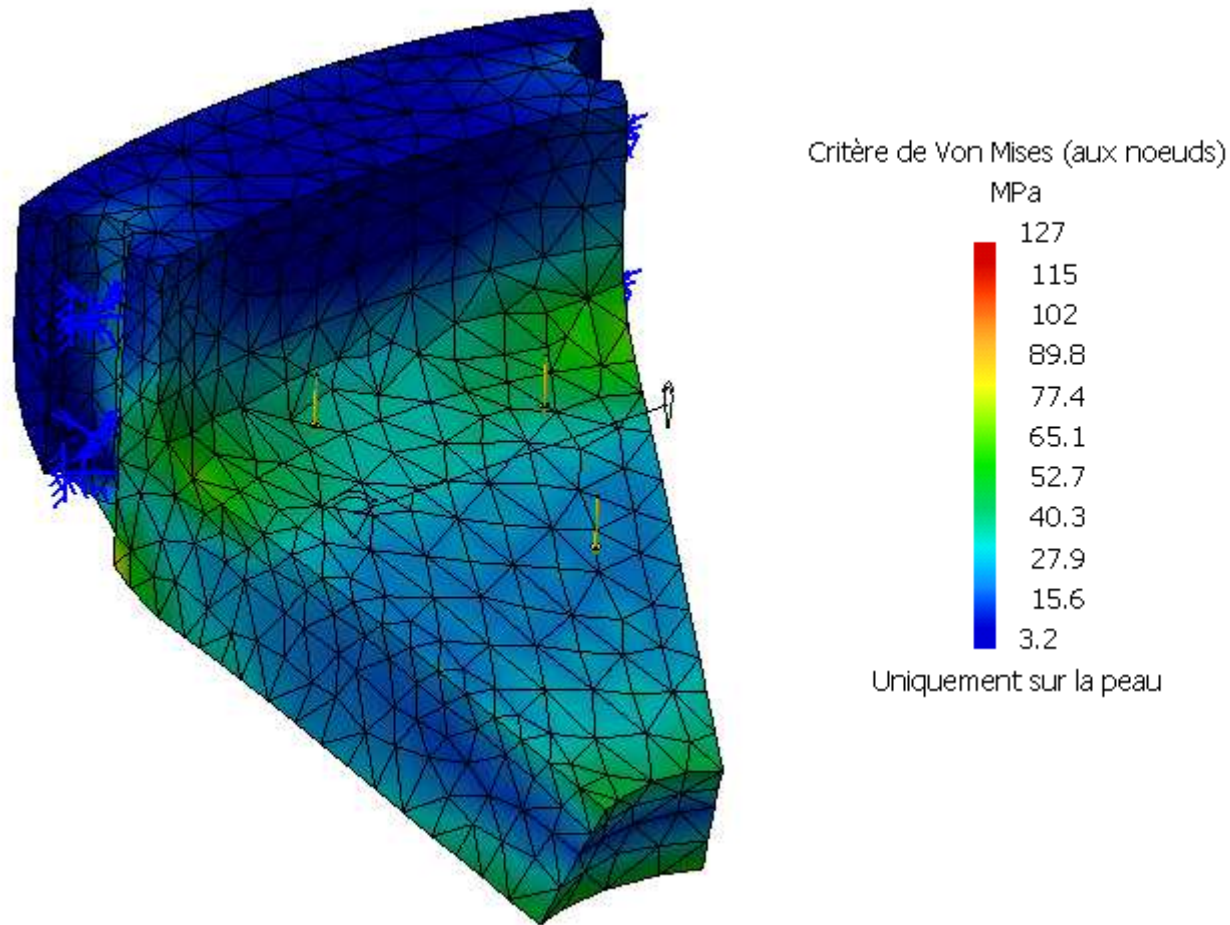


Condition de
périodicité



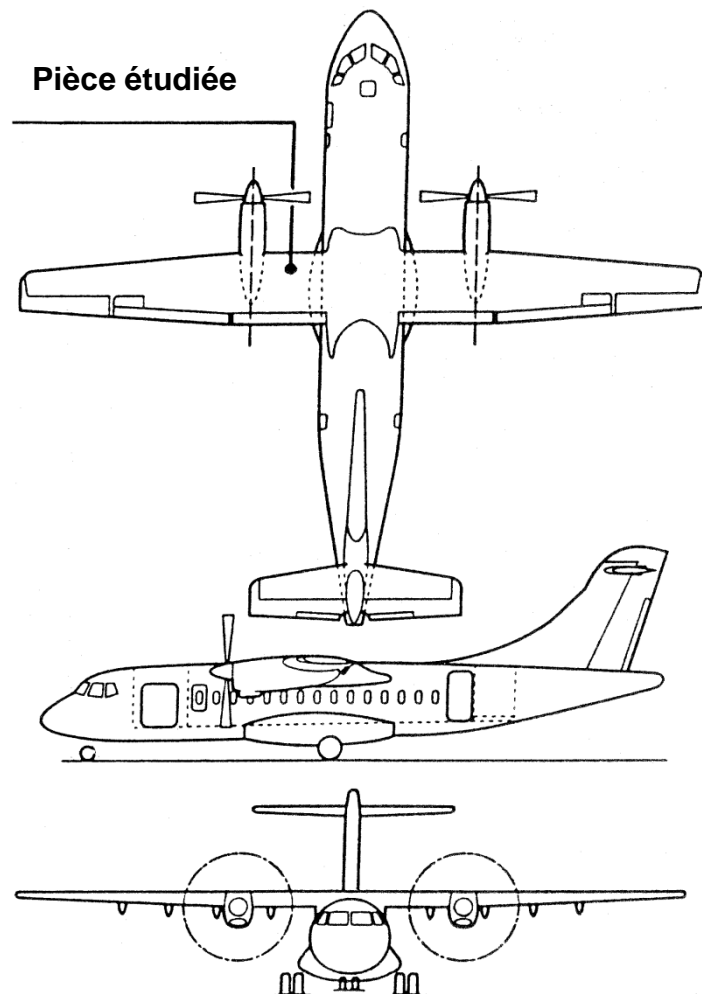
2 - Pièce axisymétrique

Résultats d'analyse



- 0 Rappel - Chape de roulette
- 1 Import de fichiers « Step »
- 2 Pièce axisymétrique
- 3 Cas d'étude - Support de canalisation**
- 4 Cas d'étude - Triangle de suspension
- 5 Gestion des assemblages sous Catia V5
- 6 Kit de survie de l'atelier « Assembly Design »
- 7 Analyse d'un assemblage
- 8 Liste des connexions
- 9 Exemple : barre articulée
- 10 Automatisation du processus d'optimisation

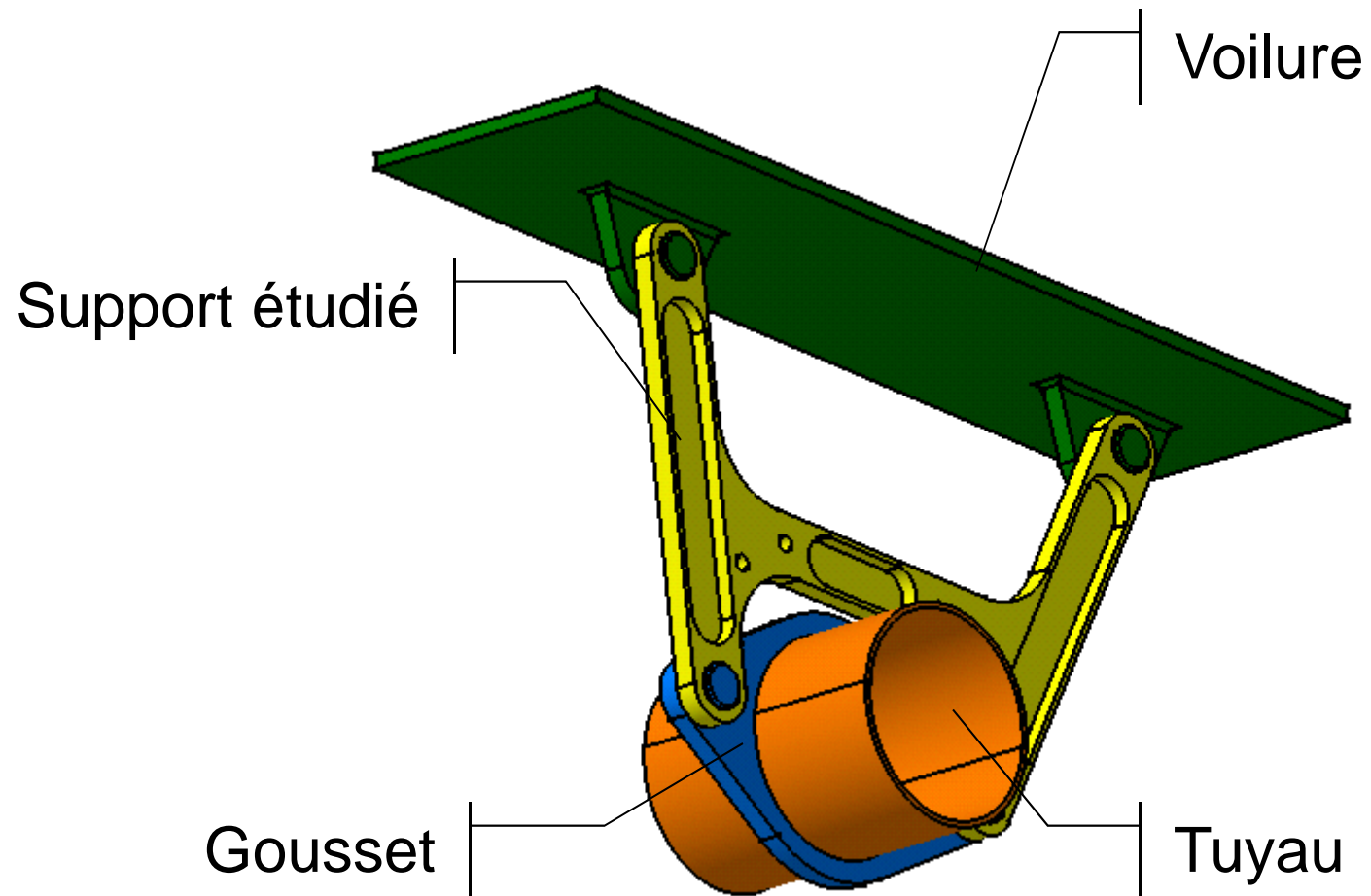
3 - Cas d'étude : Support de canalisation



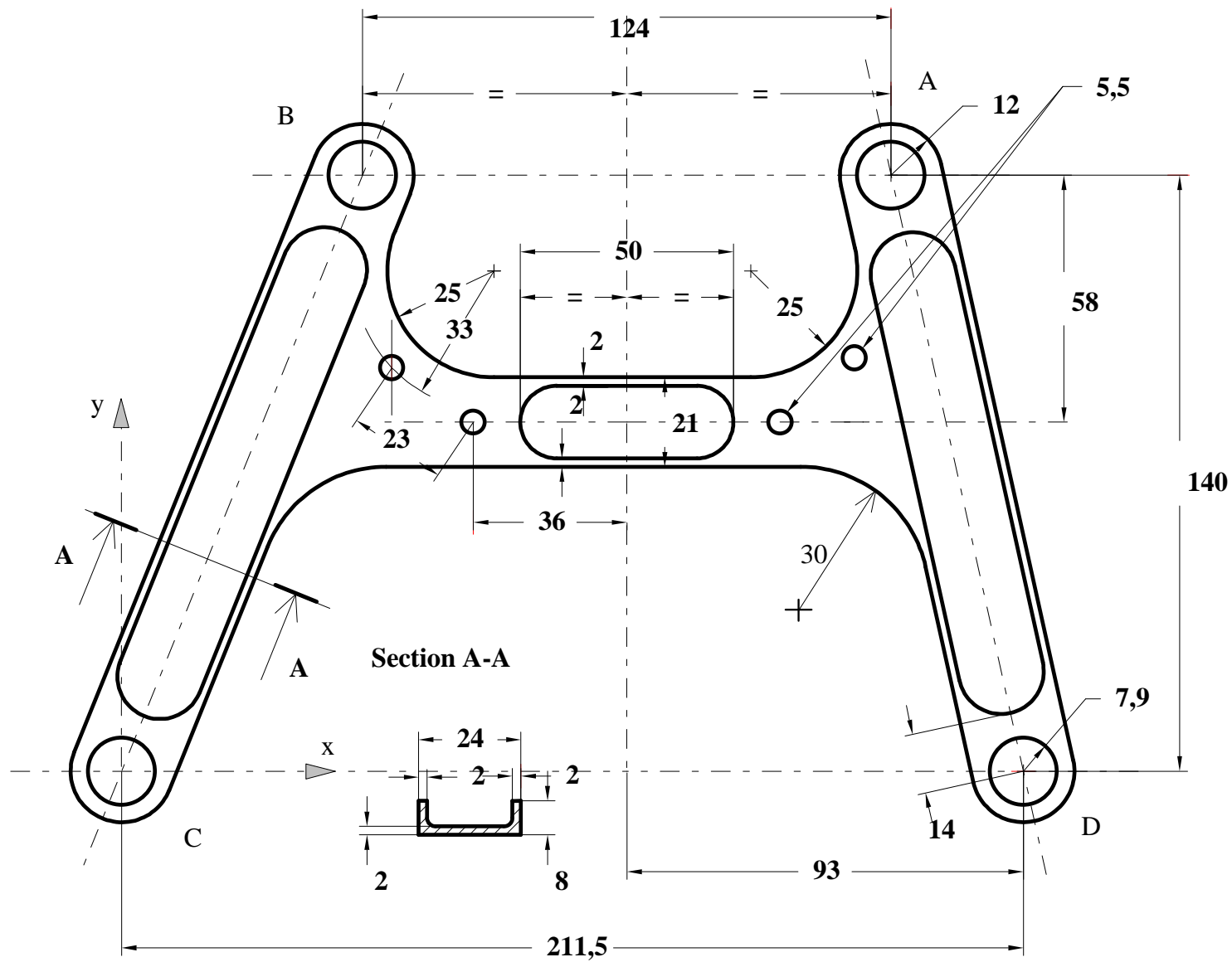
- Capacité : 42 à 50 passagers
- Rayon d'action : 1700 km
- Turbopropulseurs "PRATT et WHITNEY"
- Hélice quadripale de diamètre 3,96 m.
- Longueur 23 m, envergure 25 m, Haut 8 m
- Masse maximale au décollage : 16,7 T
- Capacité de carburant : 4500 kg.

Thème original de l'étude fourni par Pierre Chantelot

3 - Cas d'étude : Support de canalisation

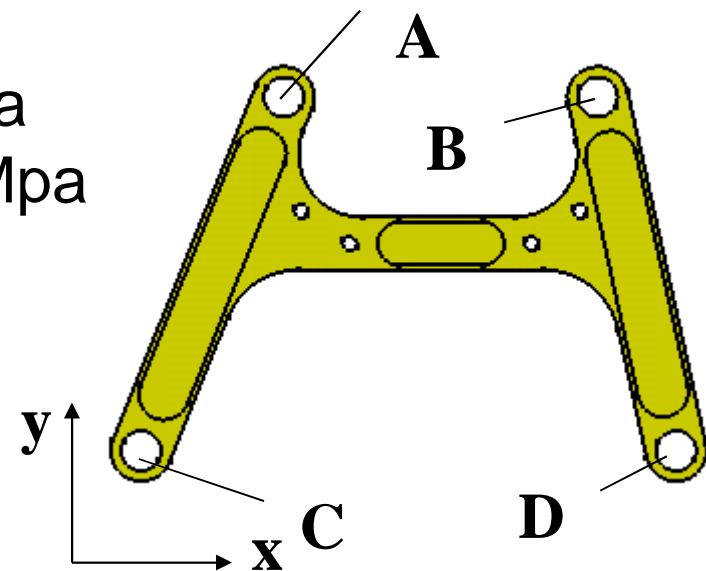


3 - Cas d'étude : Support de canalisation



3 - Cas d'étude : Support de canalisation

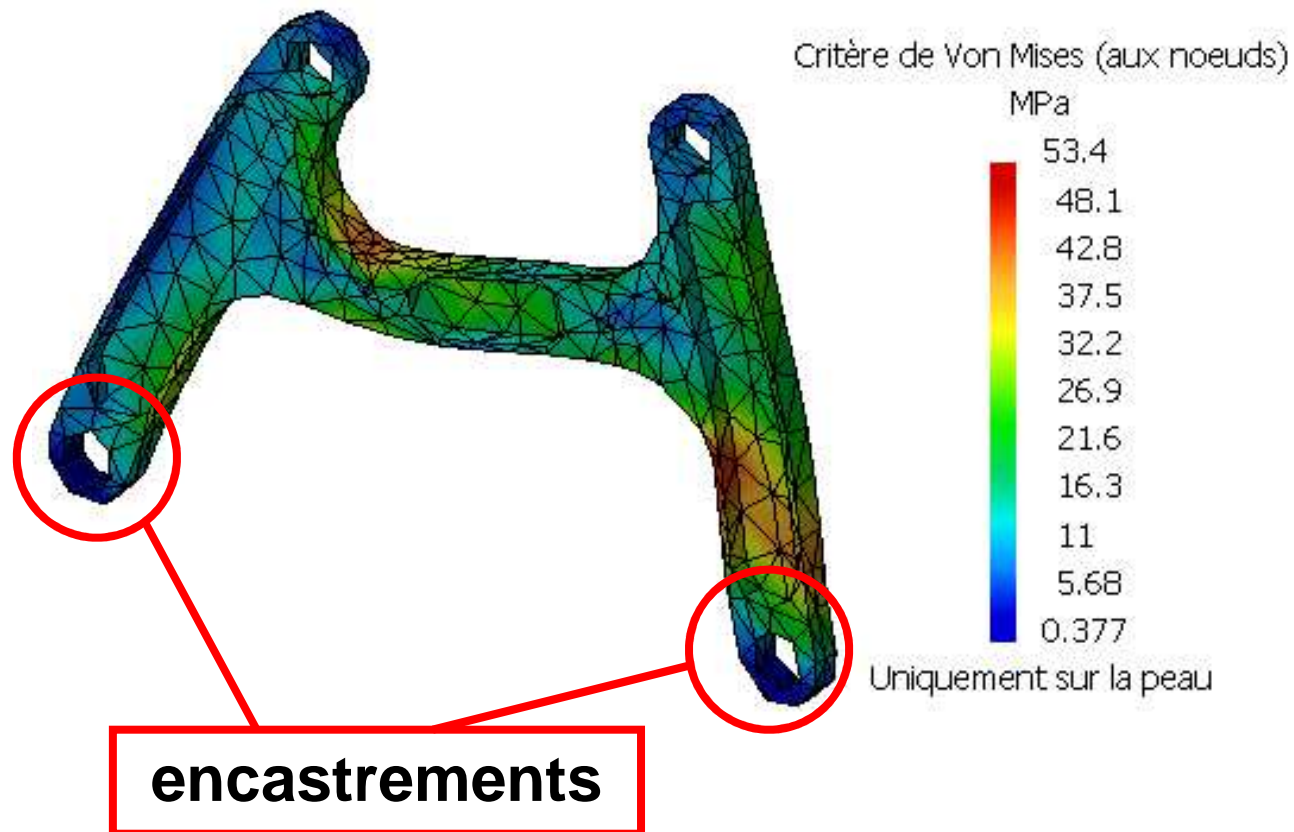
- Matériau : "Duralumin" (AU4G ou 2024)
- Mode d'obtention : usinée dans la masse
- Protection anticorrosion : oxydation anodique chromique
- Masse de la pièce : 189 g
- Module de Young : $E = 72000 \text{ MPa}$
- Module de Coulomb : $G = 27000 \text{ Mpa}$
- Pivots en C et D
- En A : $600 \mathbf{x} - 1600 \mathbf{y}$ (en N)
- En B : $600 \mathbf{x} - 1600 \mathbf{y}$ (en N)



Vérifiez la bonne tenue mécanique de la pièce

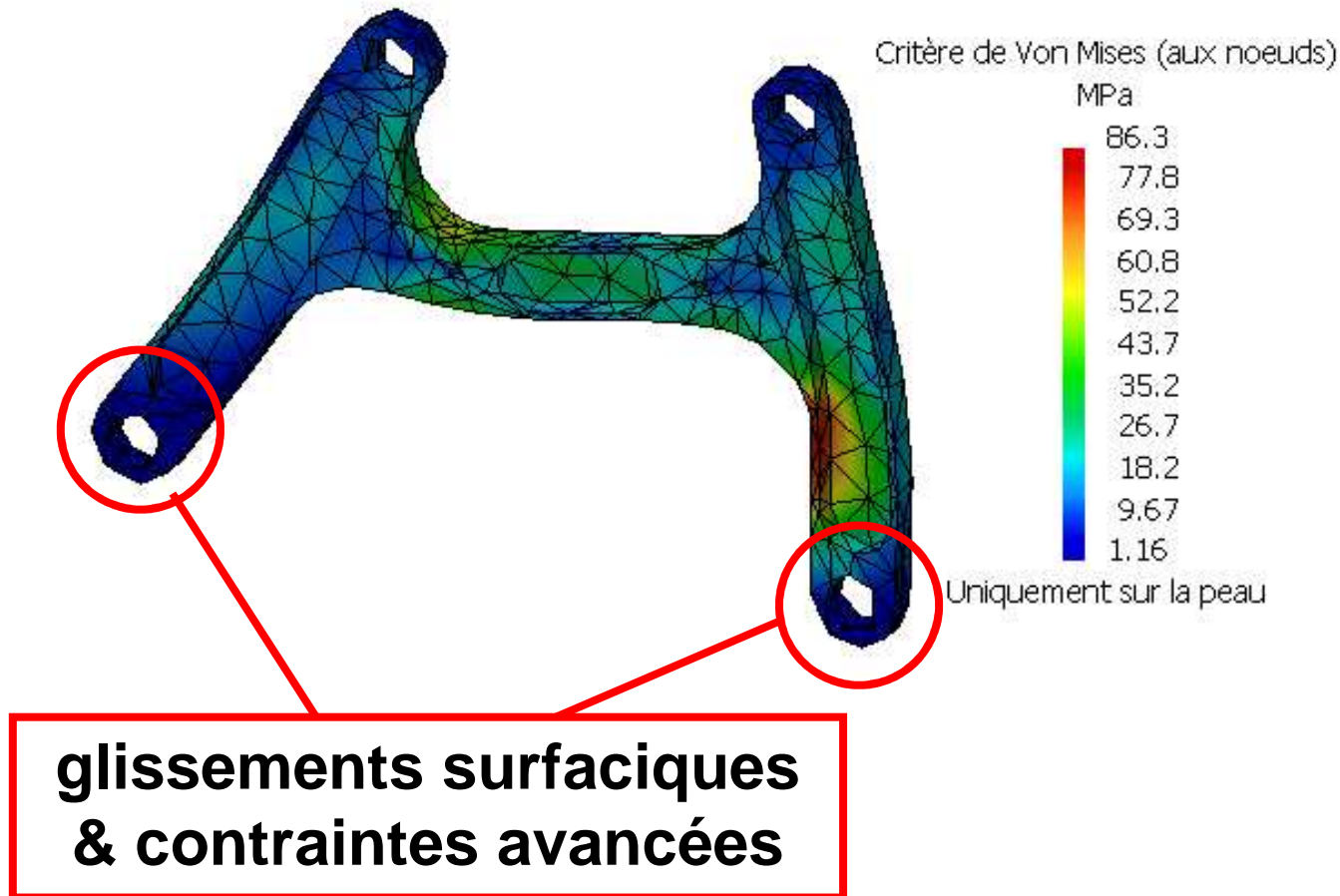
3 - Cas d'étude : Support de canalisation

Modèle d'analyse 1



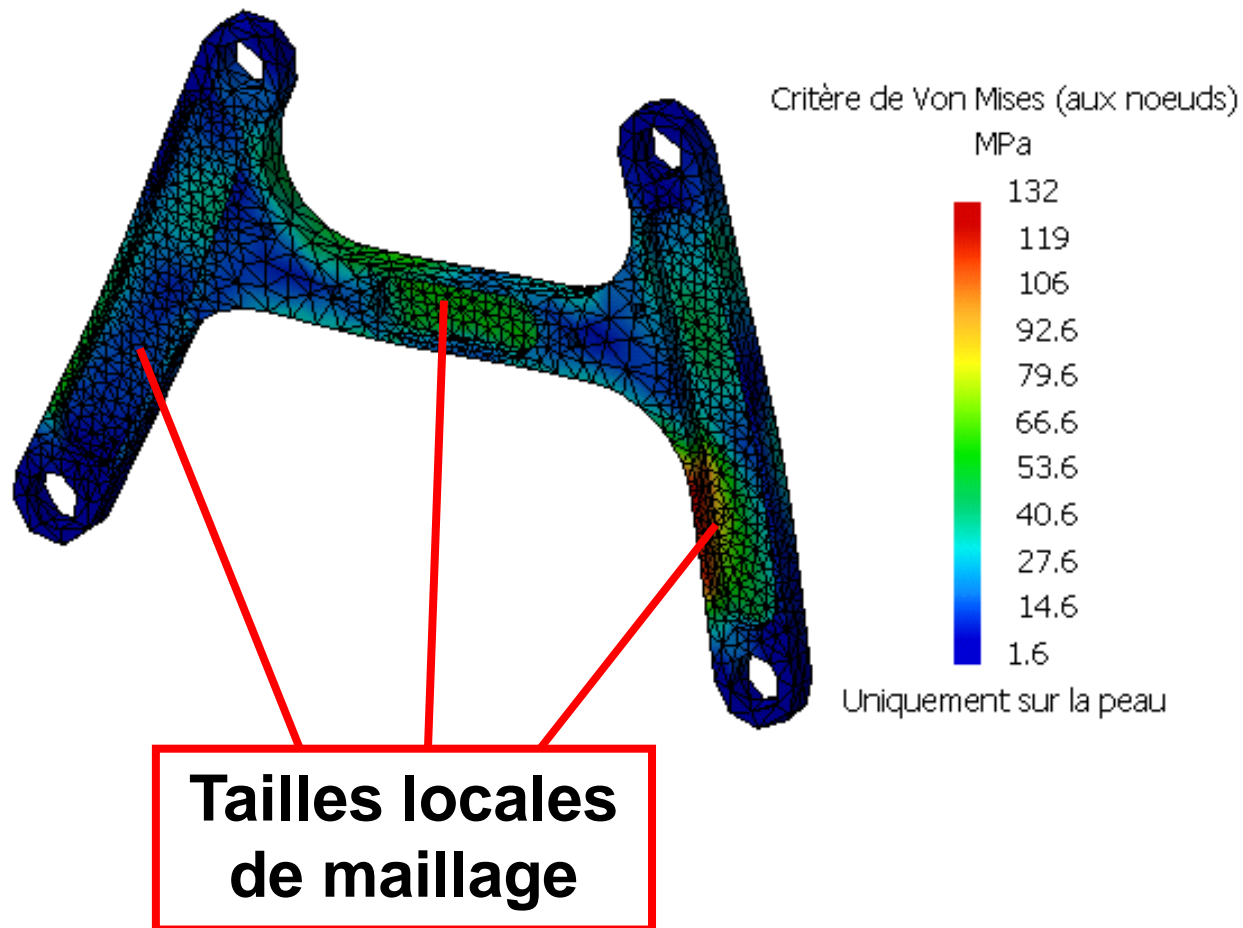
3 - Cas d'étude : Support de canalisation

Modèle d'analyse 2



3 - Cas d'étude : Support de canalisation

Modèle d'analyse 3



3 - Cas d'étude : Support de canalisation

Conclusion

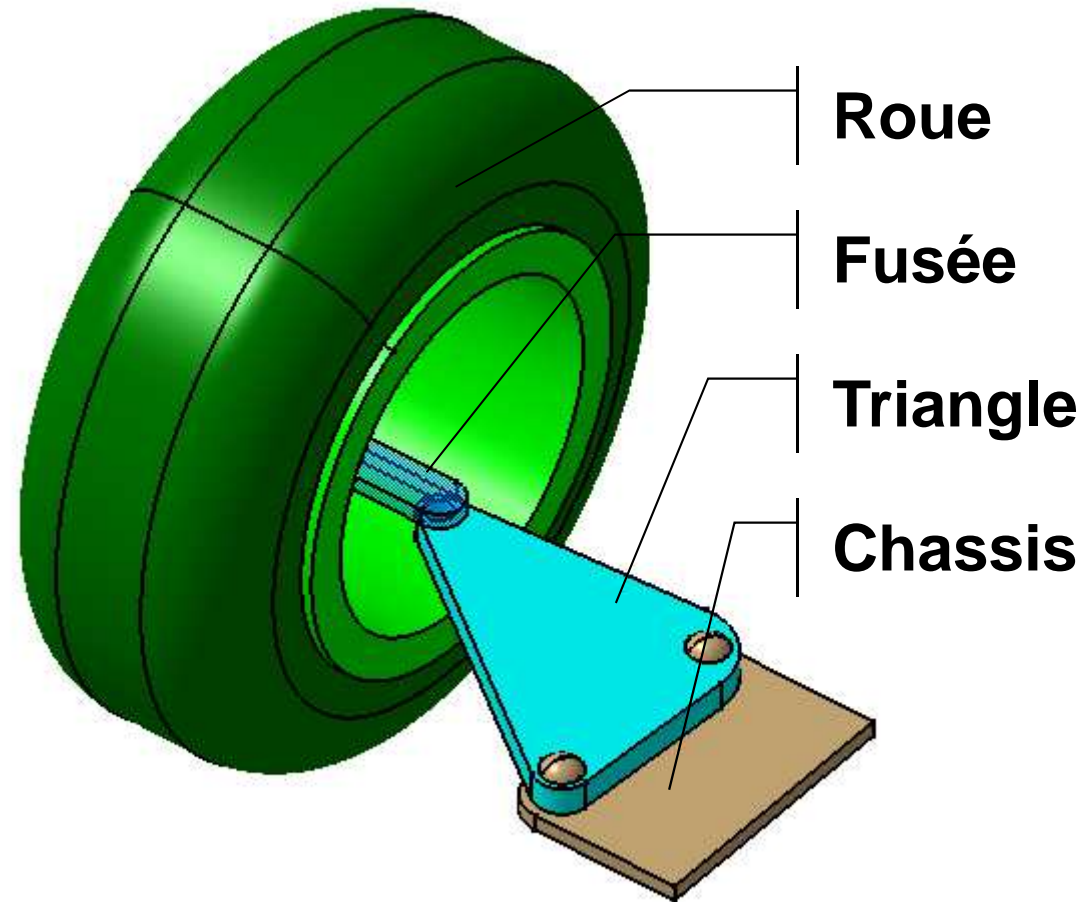
- Modèle 1 : 053 MPa
- Modèle 2 : 086 Mpa
- Modèle 3 : 132 Mpa

A comparer avec la limite élastique d'un aluminium 2024 :
environ 300 MPa

- 0 Rappel - Chape de roulette
- 1 Import de fichiers « Step »
- 2 Pièce axisymétrique
- 3 Cas d'étude - Support de canalisation
- 4 Cas d'étude - Triangle de suspension**
- 5 Gestion des assemblages sous Catia V5
- 6 Kit de survie de l'atelier « Assembly Design »
- 7 Analyse d'un assemblage
- 8 Liste des connexions
- 9 Exemple : barre articulée
- 10 Automatisation du processus d'optimisation

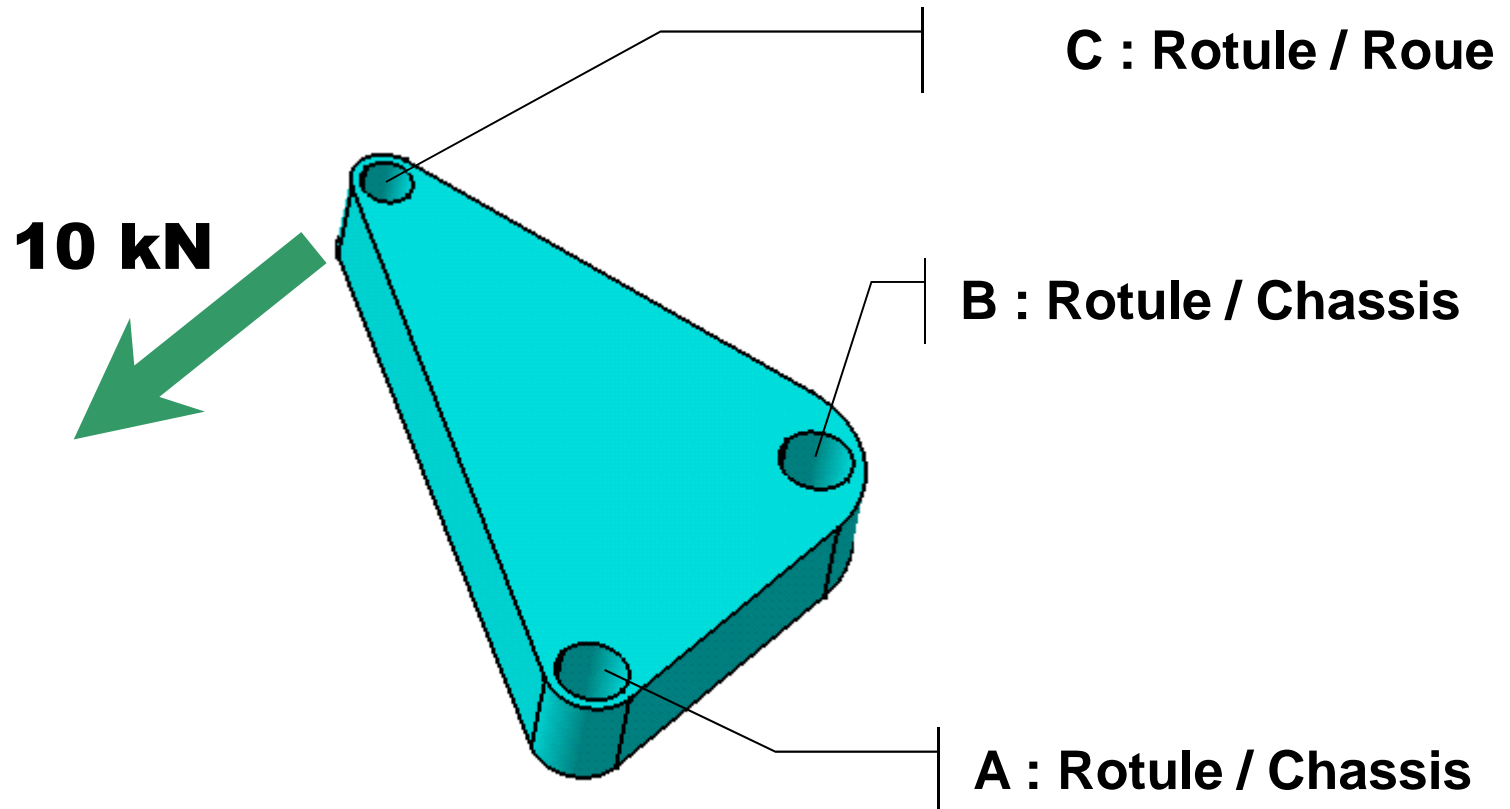
4 - Cas d'étude : Triangle de suspension

Schéma incomplet d'un demi-train avant



4 - Cas d'étude : Triangle de suspension

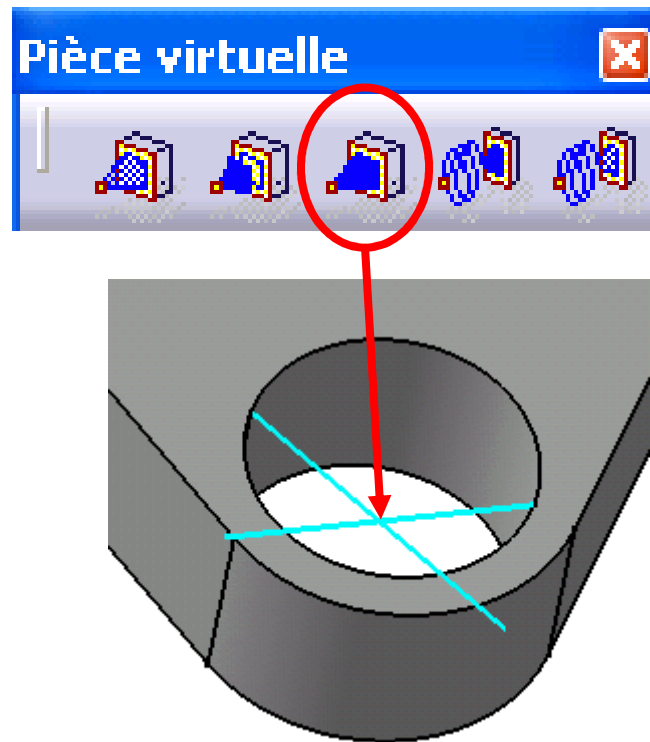
Encombrement maximal du triangle



4 - Cas d'étude : Triangle de suspension

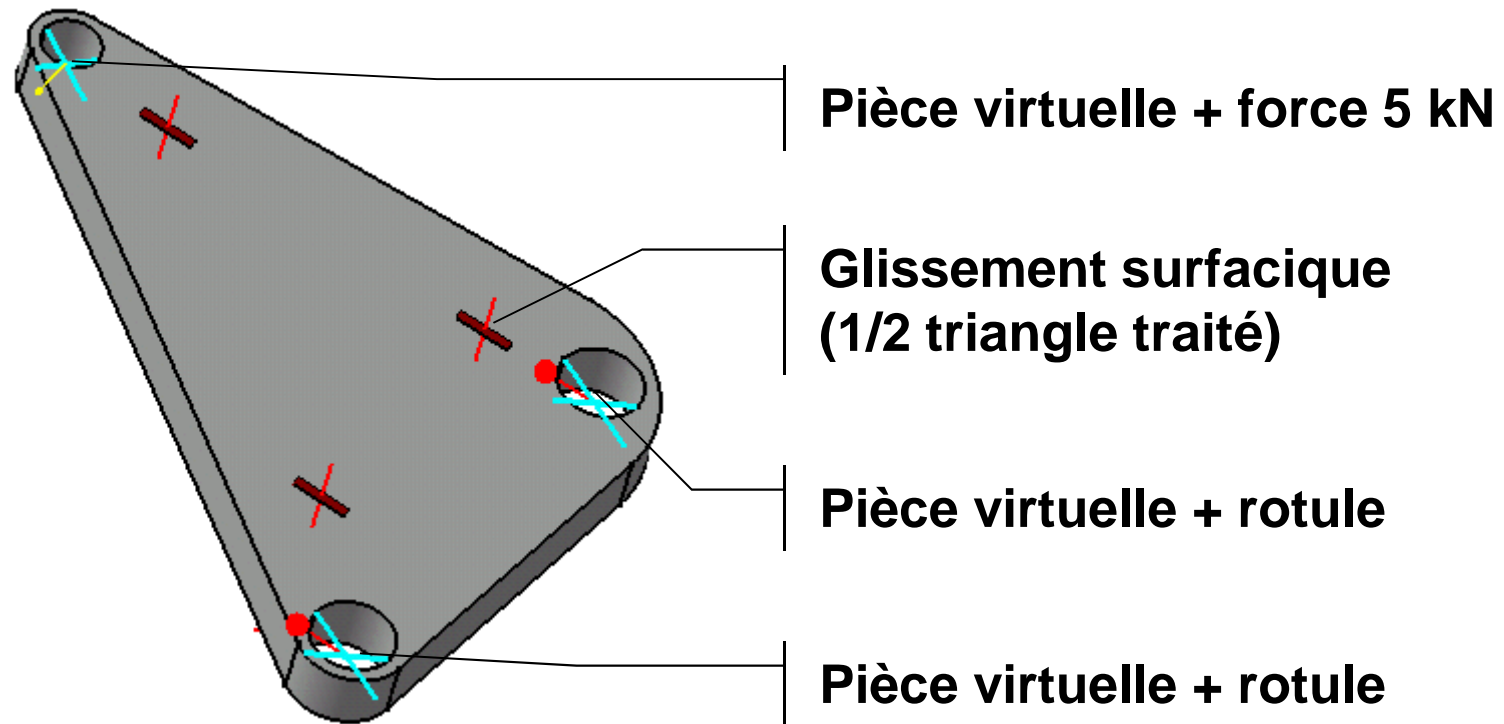
Définition de pièces virtuelles

Alésage considéré comme indéformable : on peut faire appel à une pièce virtuelle rigide



4 - Cas d'étude : Triangle de suspension

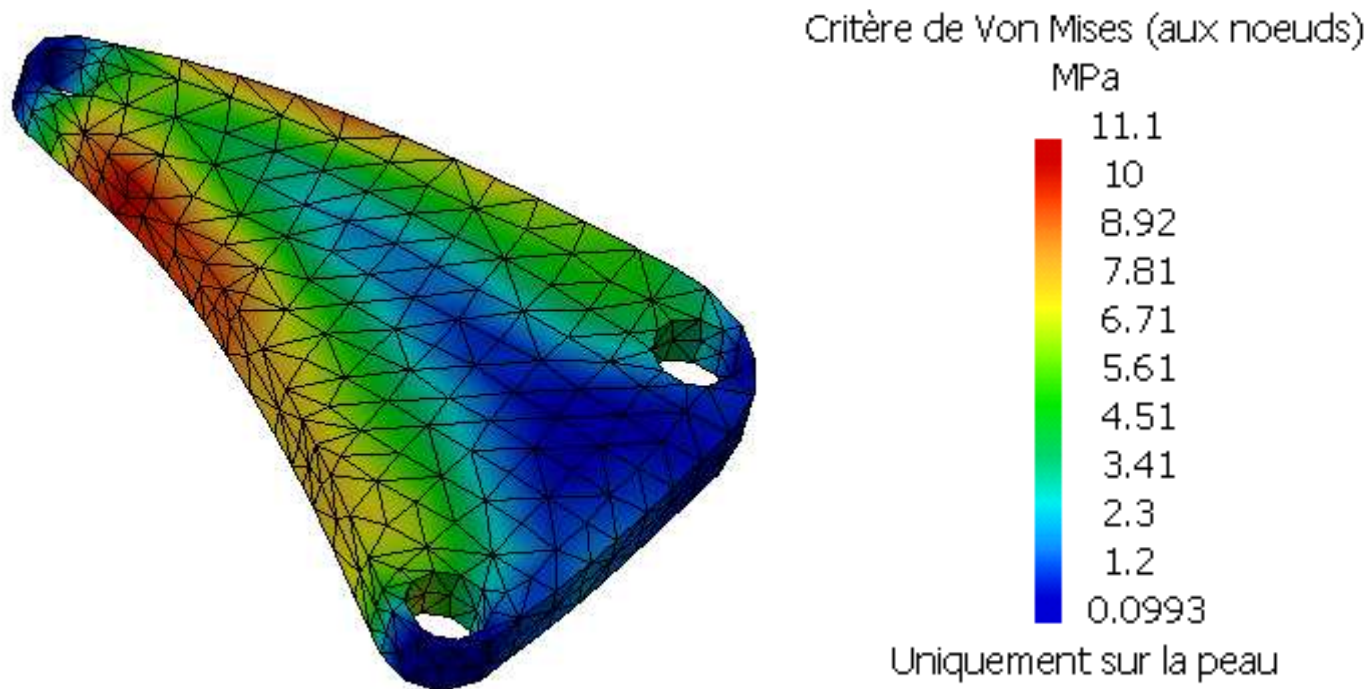
Modèle d'analyse



Les pièces virtuelles rigidifient localement la pièce étudiée et remplacent des solides considérés comme indéformables

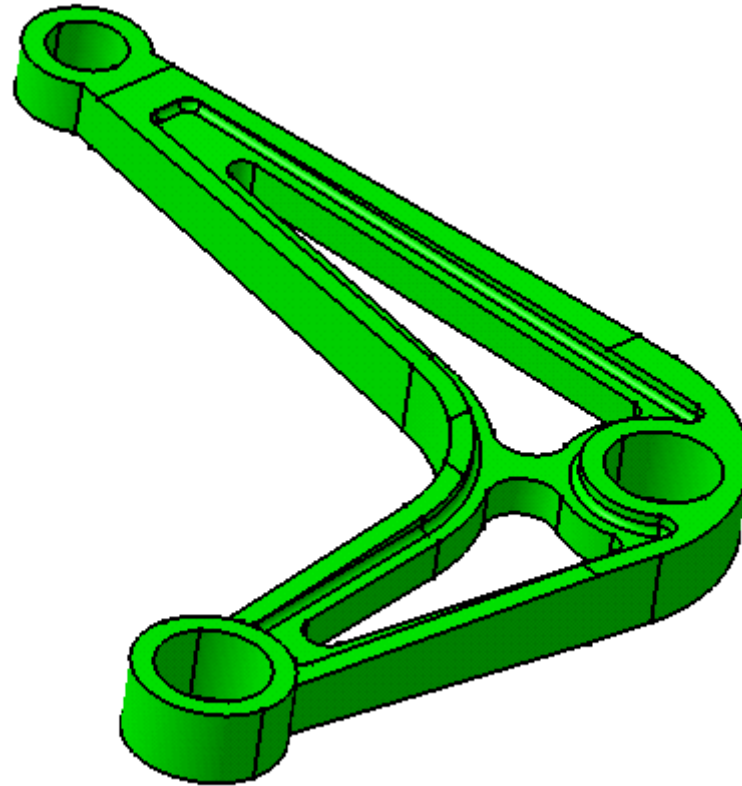
4 - Cas d'étude : Triangle de suspension

Résultats d'analyse



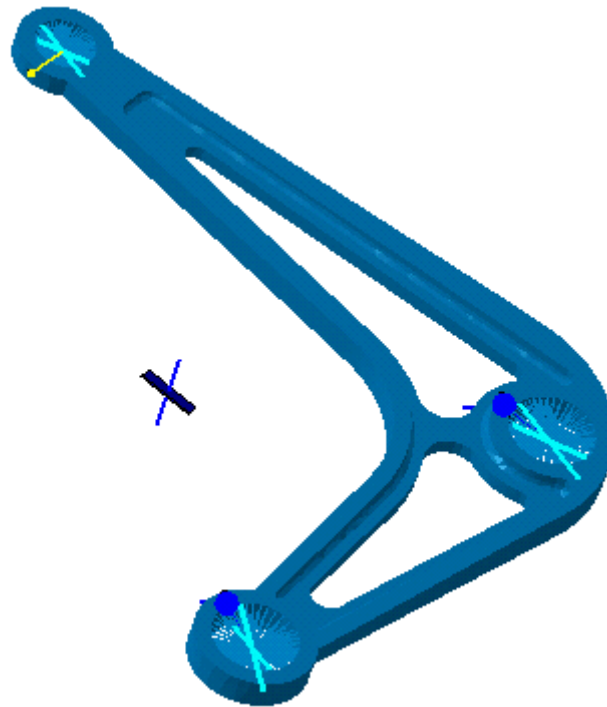
4 - Cas d'étude : Triangle de suspension

Modèle géométrique « exact »



4 - Cas d'étude : Triangle de suspension

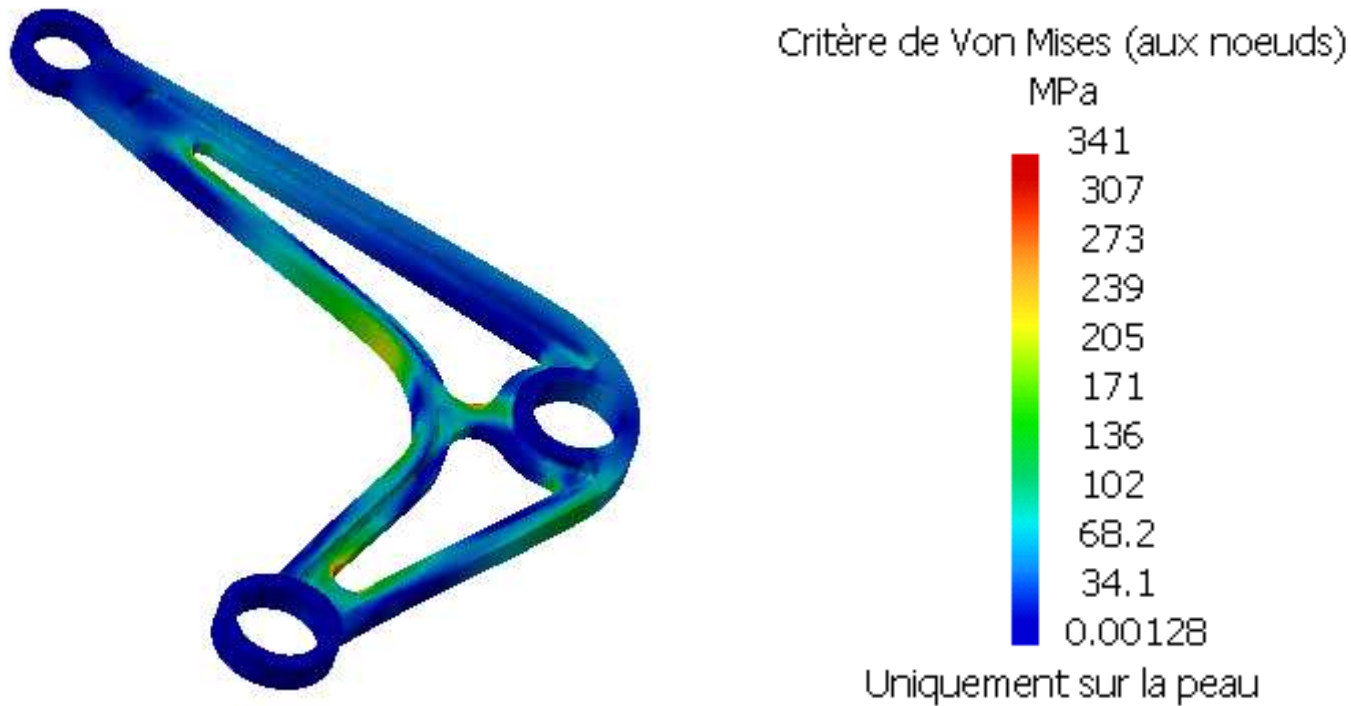
Modèle d'analyse



Analyse sur un 1/2 triangle

4 - Cas d'étude : Triangle de suspension

Résultats d'analyse



Limite élastique du matériau 350 MPa

4 - Cas d'étude : Triangle de suspension

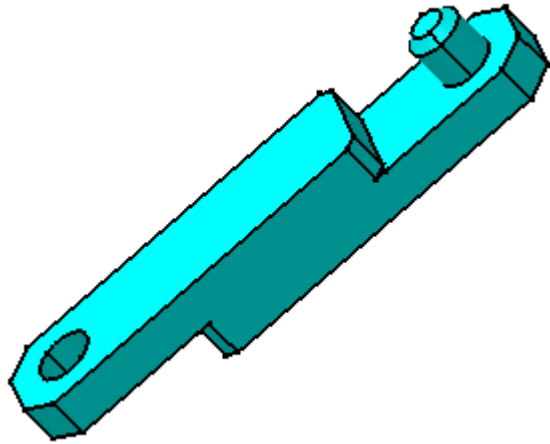
Remarques :

- Centre des rotules du fait de l'étude d'1/2 plaque ?
- Modèle équivalent : pièces virtuelles rigides + pivots d'axe z

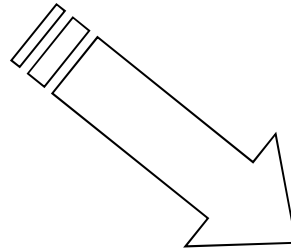
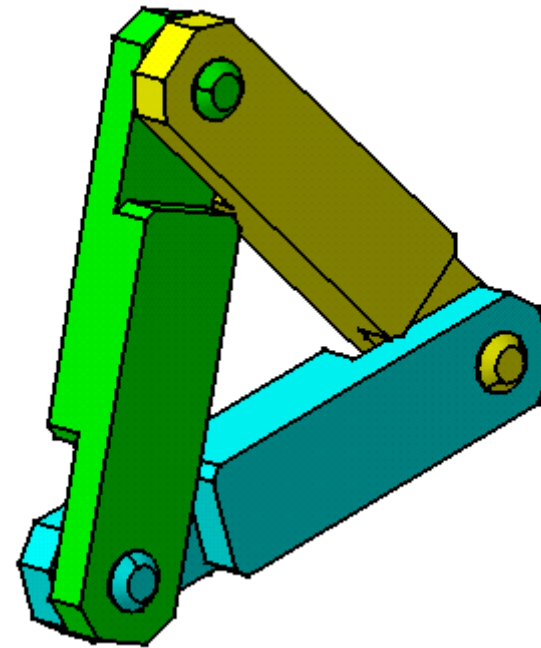
- 0 Rappel - Chape de roulette
- 1 Import de fichiers « Step »
- 2 Pièce axisymétrique
- 3 Cas d'étude - Support de canalisation
- 4 Cas d'étude - Triangle de suspension
- 5 Gestion des assemblages sous Catia V5**
- 6 Kit de survie de l'atelier « Assembly Design »
- 7 Analyse d'un assemblage
- 8 Liste des connexions
- 9 Exemple : barre articulée
- 10 Automatisation du processus d'optimisation

5 - Gestion des assemblages

Part



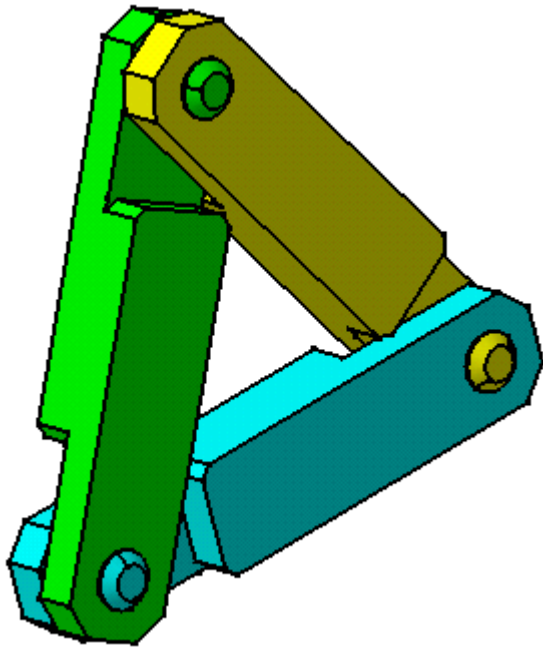
Product



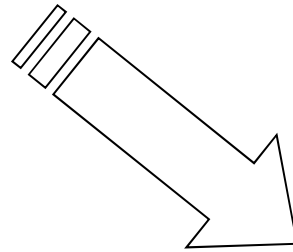
Définition des contraintes
d'assemblages

5 - Gestion des assemblages

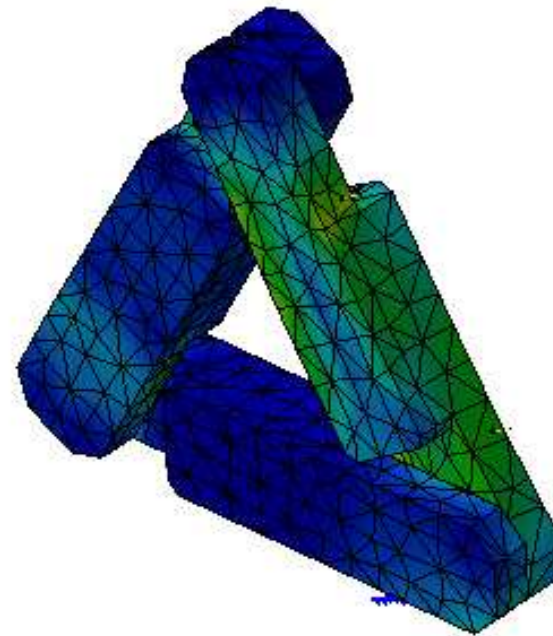
Product



Définition du
modèle d'analyse



Analyse



- 0 Rappel - Chape de roulette
- 1 Import de fichiers « Step »
- 2 Pièce axisymétrique
- 3 Cas d'étude - Support de canalisation
- 4 Cas d'étude - Triangle de suspension
- 5 Gestion des assemblages sous Catia V5
- 6 Kit de survie de l'atelier « Assembly Design »**
- 7 Analyse d'un assemblage
- 8 Liste des connexions
- 9 Exemple : barre articulée

6 - Assembly Design

Produit Instance d'une pièce

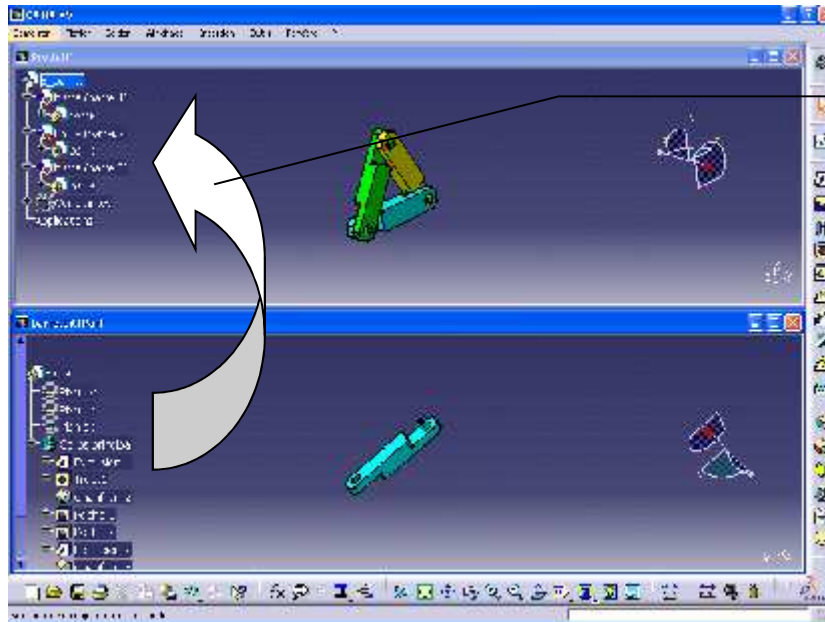


6 - Assembly Design

Composition de l'assemblage



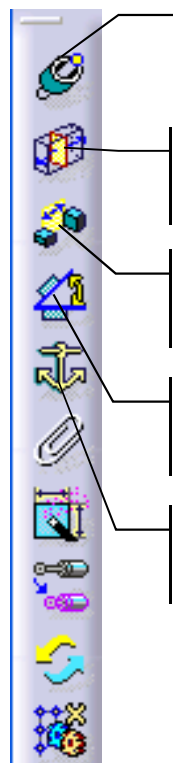
Insertion d'un composant existant



Glisser-Déposer dans l'arbre des spécifications

6 - Assembly Design

Définition des contraintes d'assemblage



Coïncidence d'axes, de plans, de surfaces etc

Contact entre surfaces

Contrainte de distances

Contrainte d'angle

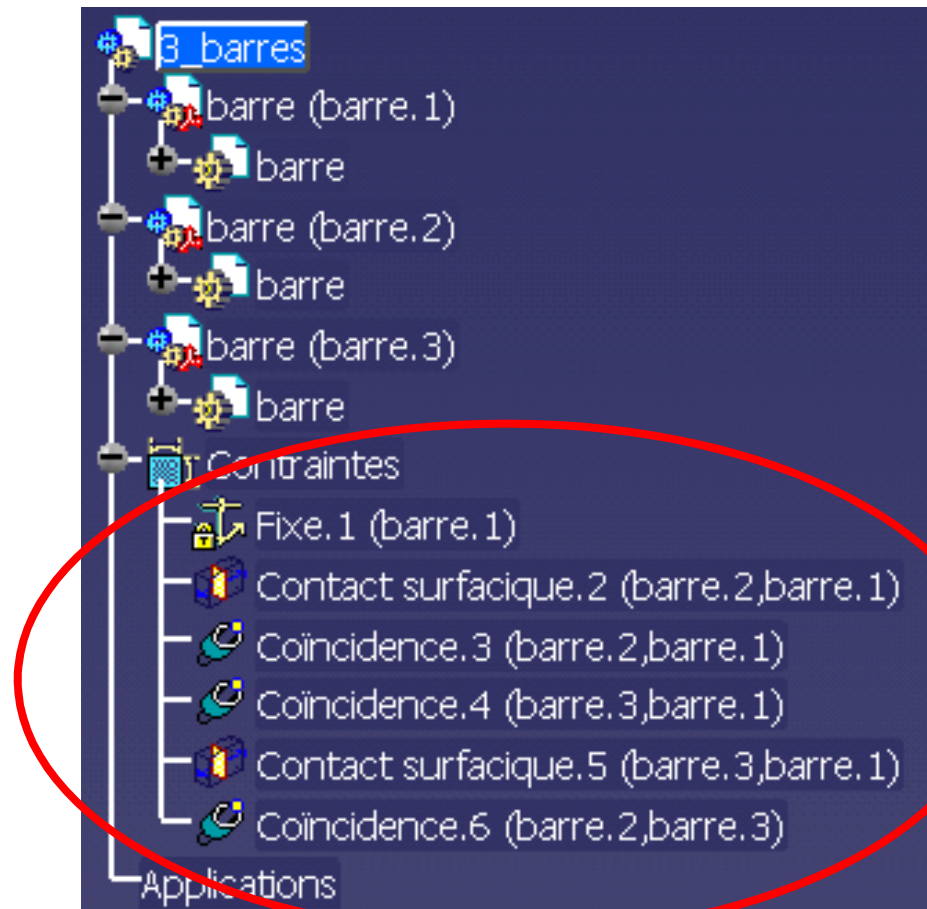
Contrainte de fixité : définit le bâti

Positionnement des pièces



6 - Assembly Design

Résultat

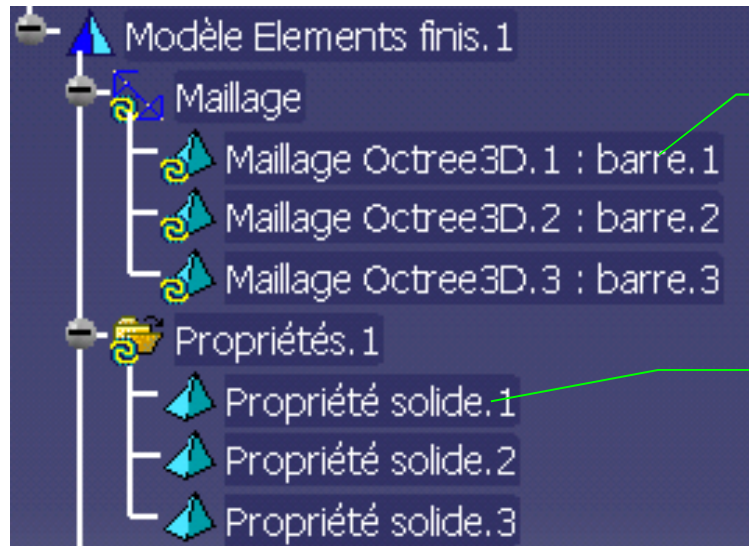


Calculs de Structure sous CATIA V5 - III

- 0 Rappel - Chape de roulette
- 1 Import de fichiers « Step »
- 2 Pièce axisymétrique
- 3 Cas d'étude - Support de canalisation
- 4 Cas d'étude - Triangle de suspension
- 5 Gestion des assemblages sous Catia V5
- 6 Kit de survie de l'atelier « Assembly Design »
- 7 Analyse d'un assemblage**
- 8 Liste des connexions
- 9 Exemple : barre articulée
- 10 Automatisation du processus d'optimisation

7 - Analyse d'un assemblage

Lancement de l'atelier GSA

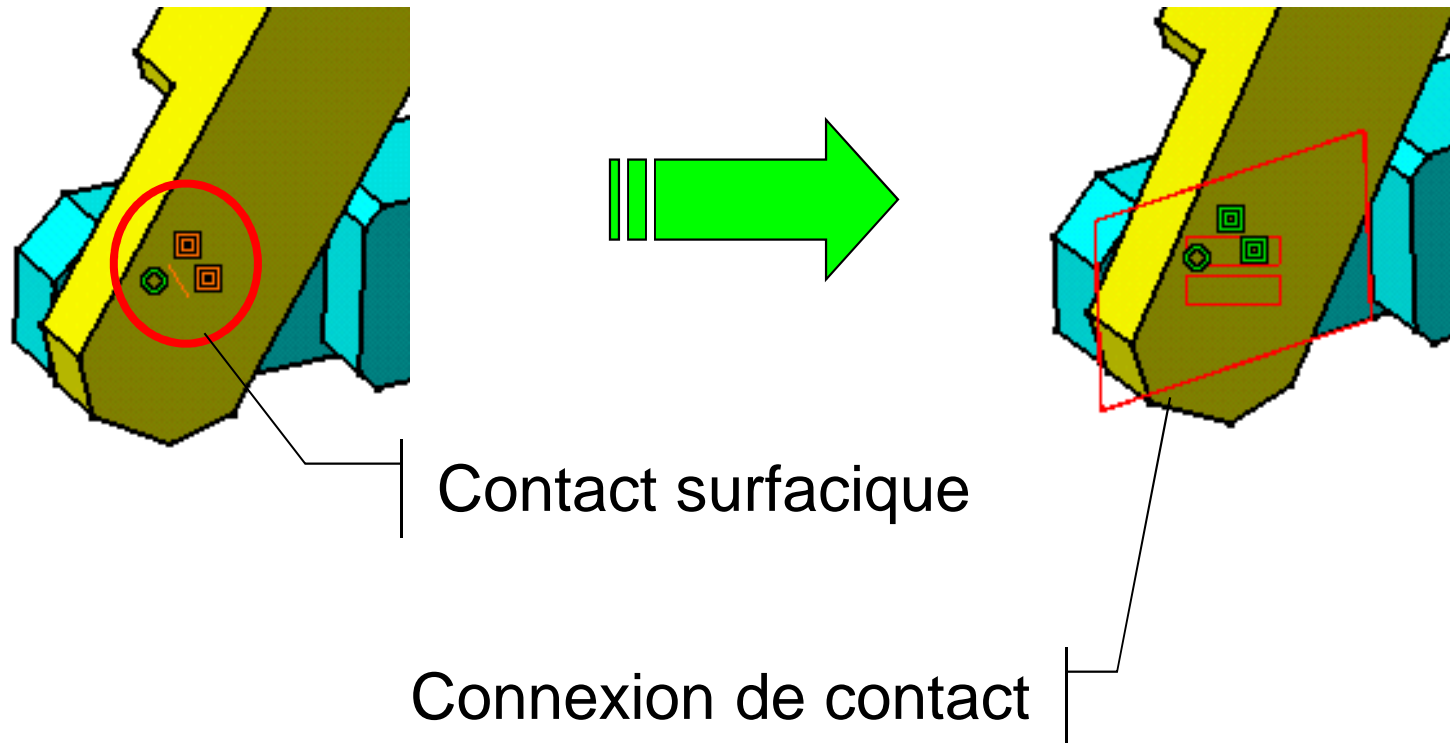


Maillage automatique
des 3 pièces

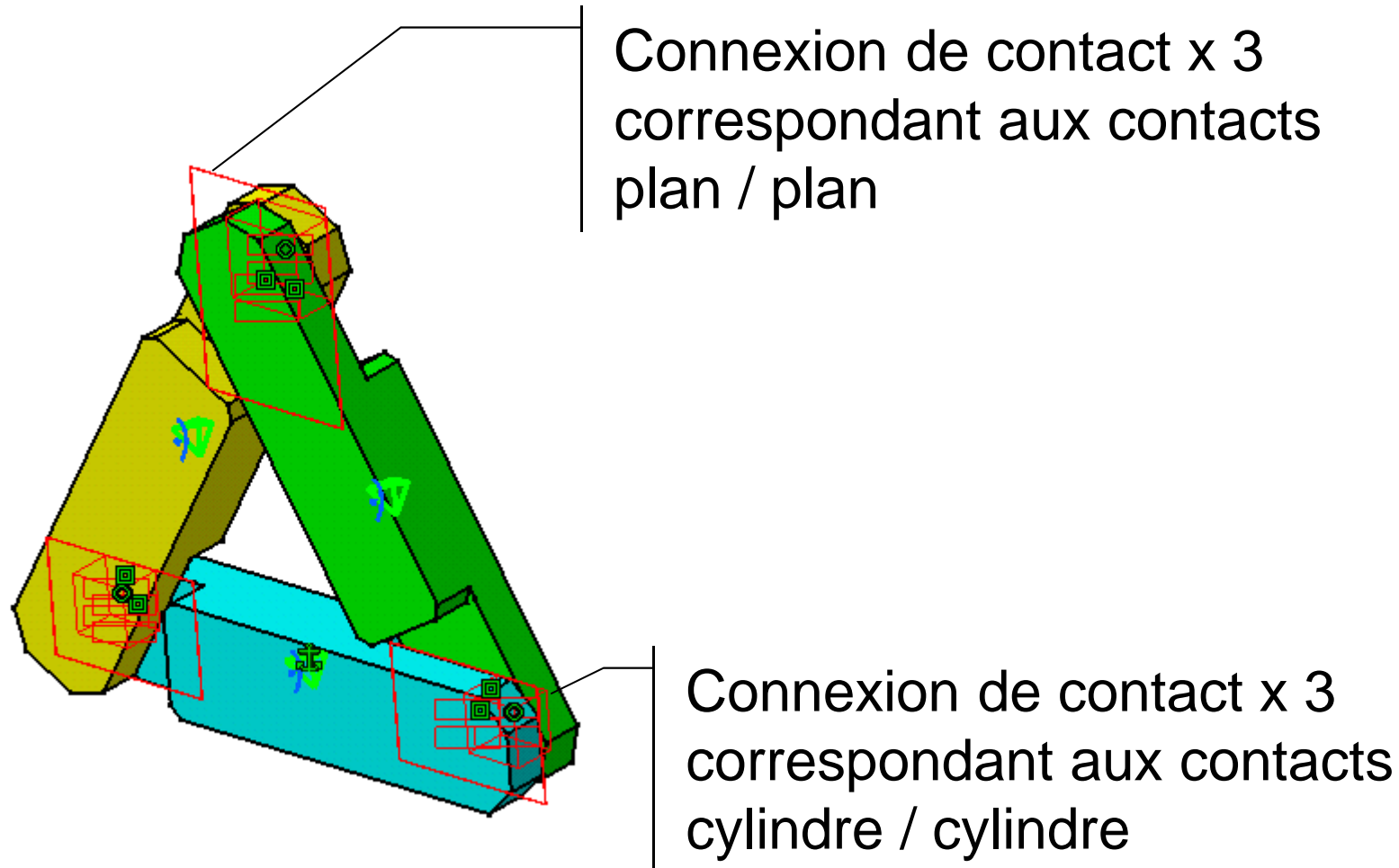
Récupération des propriétés
solides des 3 pièces

7 - Analyse d'un assemblage

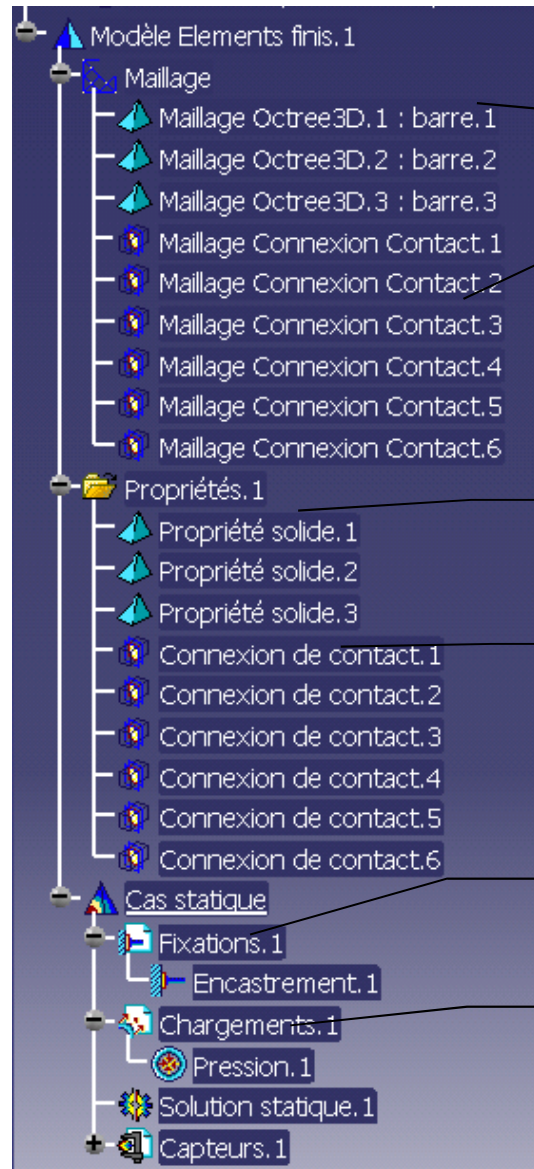
Définition des connexions



7 - Analyse d'un assemblage



7 - Analyse d'un assemblage



Maillage 3D des pièces

« Maillage » des connexions de contact

Propriétés solides des pièces

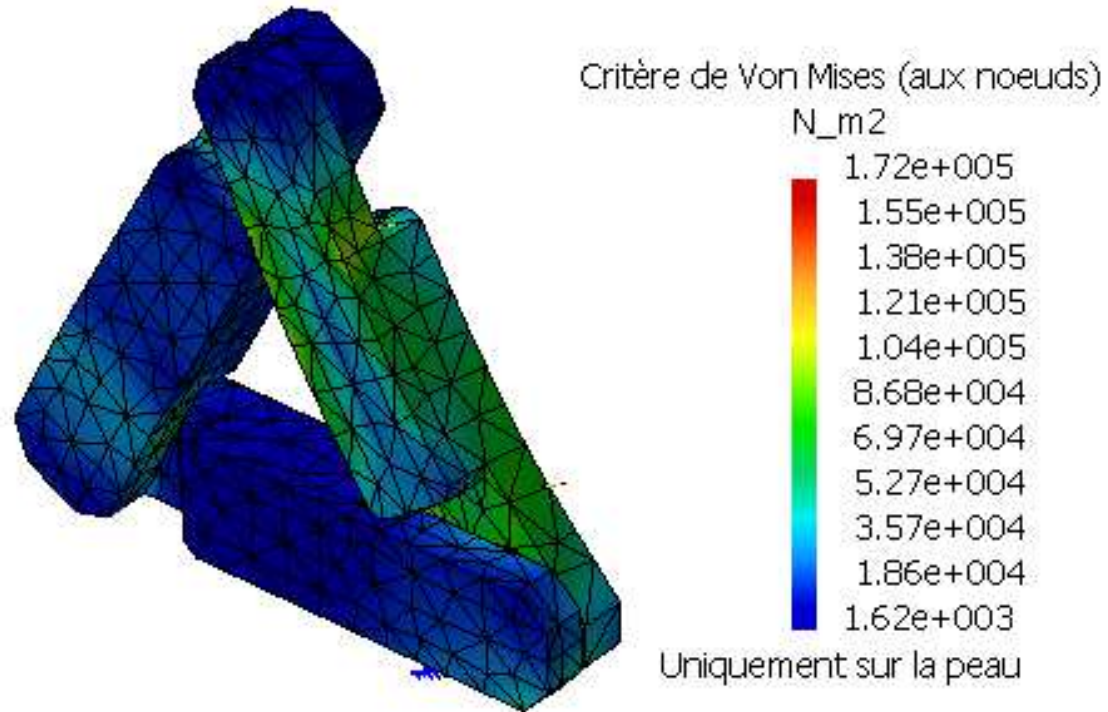
Propriétés des connexions

Contraintes aux limites

Chargement

7 - Analyse d'un assemblage

Résultats de l'analyse

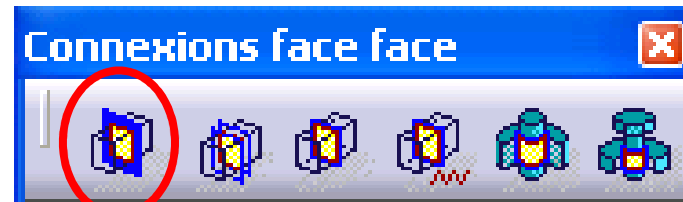


Calculs de Structure sous CATIA V5 - III

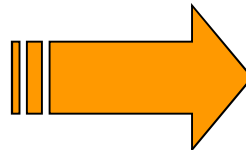
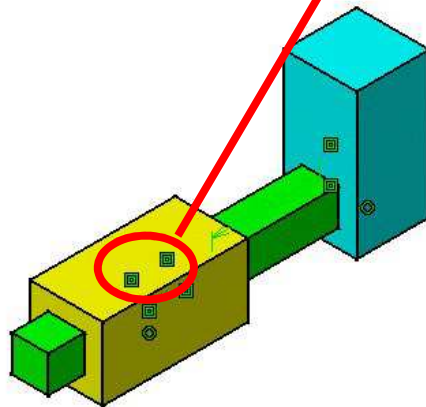
- 0 Rappel - Chape de roulette
- 1 Import de fichiers « Step »
- 2 Pièce axisymétrique
- 3 Cas d'étude - Support de canalisation
- 4 Cas d'étude - Triangle de suspension
- 5 Gestion des assemblages sous Catia V5
- 6 Kit de survie de l'atelier « Assembly Design »
- 7 Analyse d'un assemblage
- 8 Liste des connexions**
- 9 Exemple : barre articulée
- 10 Automatisation du processus d'optimisation

8 - Liste des connexions

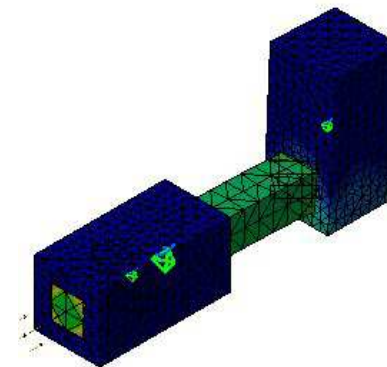
Connexion glissante



Définit une liaison plane à partir d'une contrainte de contact : 2 ddl dans un plan tangent commun.

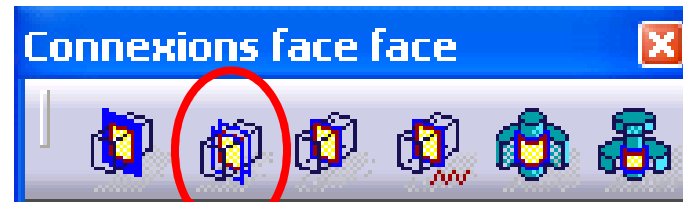


2 connexions
glissantes

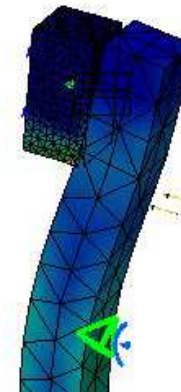
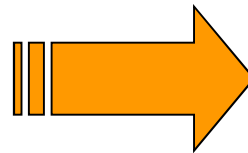
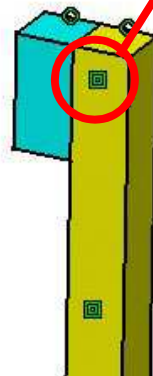


8 - Liste des connexions

Connexion de contact

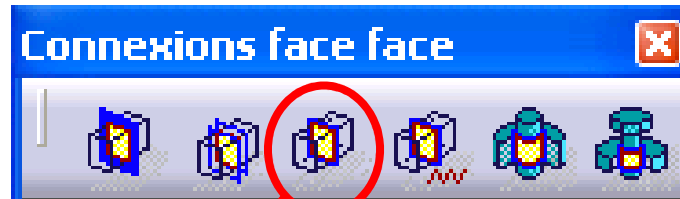


Contact entre deux pièces sans interpénétration.
Eventuellement avec jeu. Défini à partir d'une coïncidence
ou d'un contact surfacique

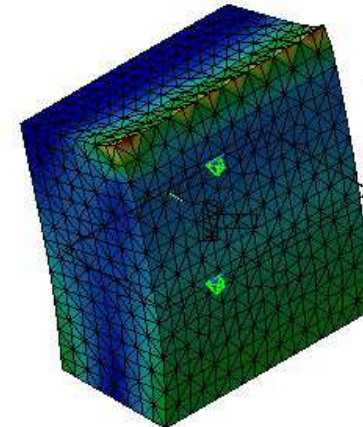
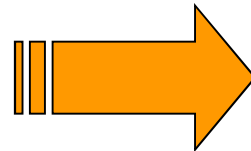
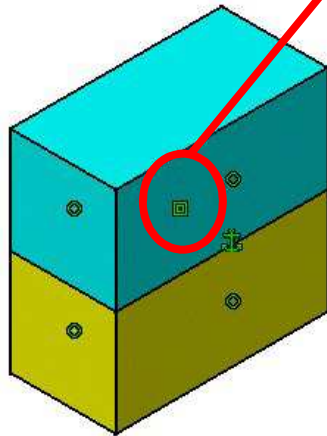


8 - Liste des connexions

Connexion soudée



Définition d'une liaison encastrement
à partir d'un contact surfacique

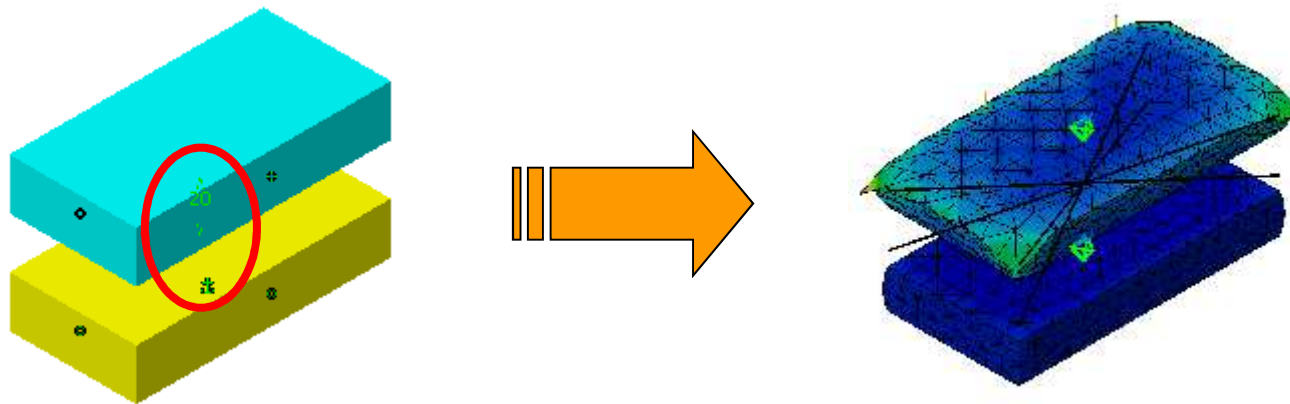


8 - Liste des connexions

Connexions distantes



Définition d'une liaison encastrement entre 2 surfaces considérées ou non comme indéformables à partir d'une contrainte de coïncidence, d'angle ou d'un décalage

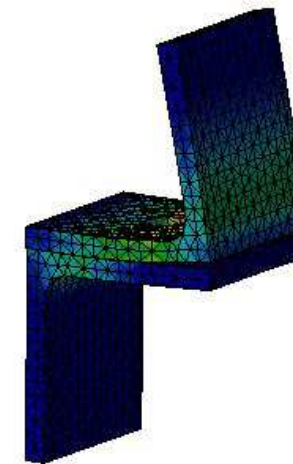
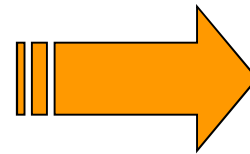
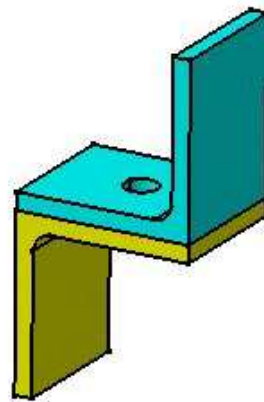


8 - Liste des connexions

Connexions de serrage



Modélisation d'un serrage par éléments filetés
considérés comme rigides ou non,
et nécessitant ou non une modélisation géométrique

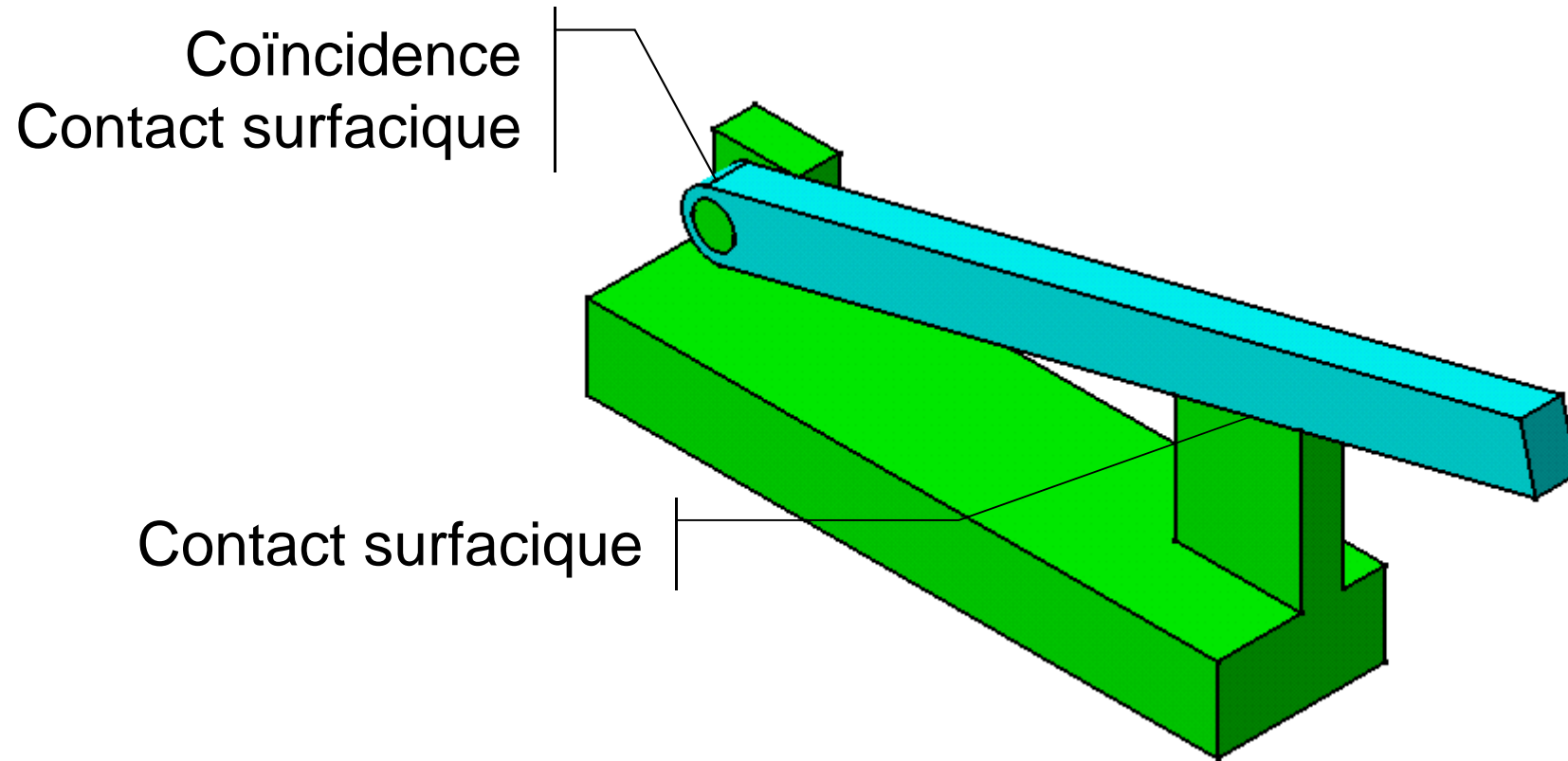


Calculs de Structure sous CATIA V5 - III

- 0 Rappel - Chape de roulette
- 1 Import de fichiers « Step »
- 2 Pièce axisymétrique
- 3 Cas d'étude - Support de canalisation
- 4 Cas d'étude - Triangle de suspension
- 5 Gestion des assemblages sous Catia V5
- 6 Kit de survie de l'atelier « Assembly Design »
- 7 Analyse d'un assemblage
- 8 Liste des connexions
- 9 Exemple : barre articulée**
- 10 Automatisation du processus d'optimisation

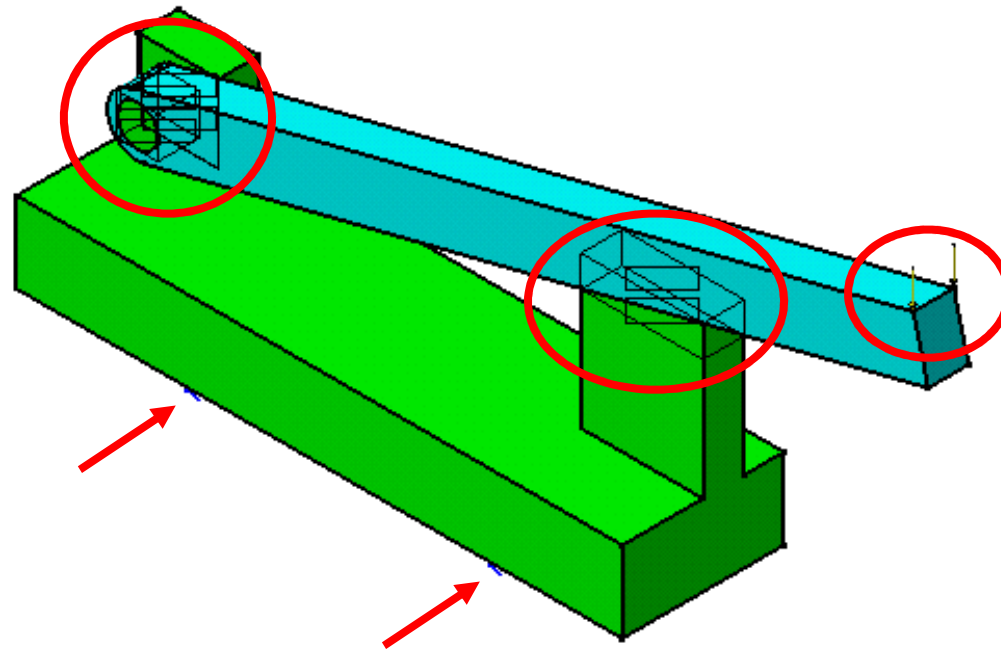
9 - Exemple

Modèle géométrique



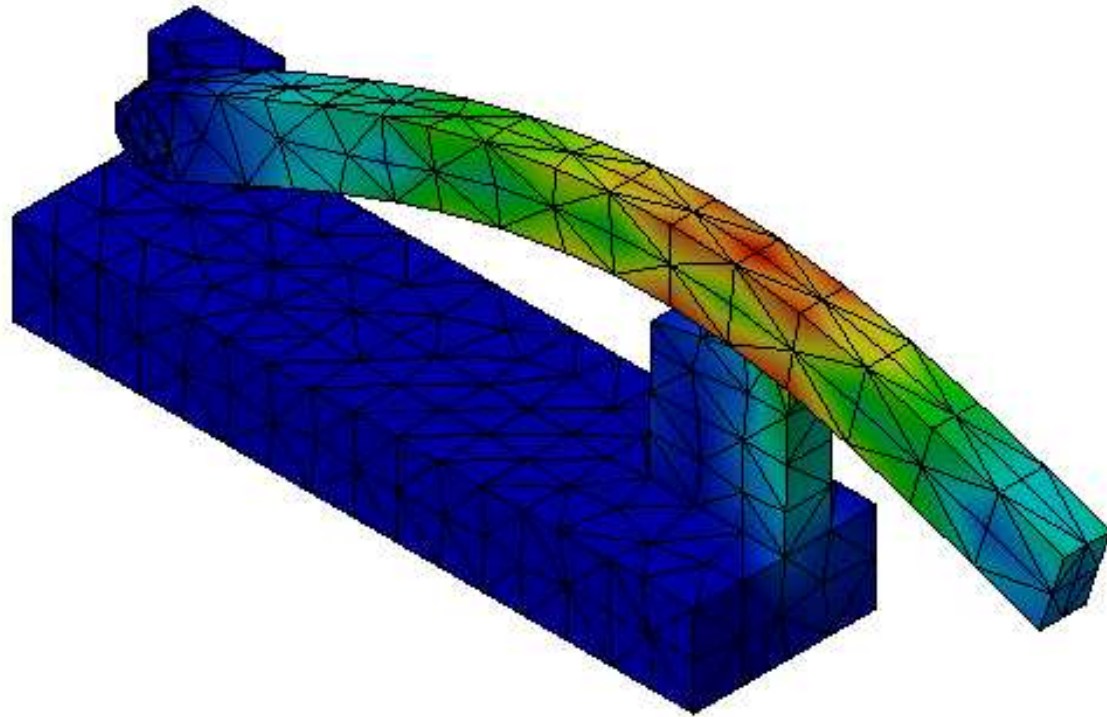
9 - Exemple

Modèle d 'analyse



9 - Exemple

Résultats

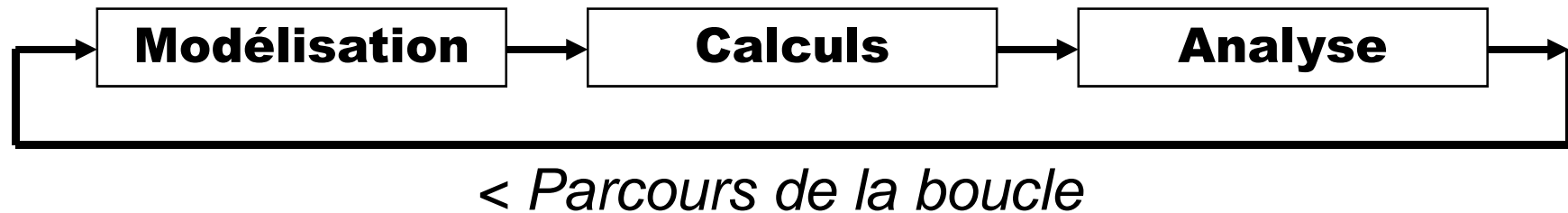


Calculs de Structure sous CATIA V5 - IV

- 0 Rappel - Chape de roulette
- 1 Import de fichiers « Step »
- 2 Pièce axisymétrique
- 3 Cas d'étude - Support de canalisation
- 4 Cas d'étude - Triangle de suspension
- 5 Gestion des assemblages sous Catia V5
- 6 Kit de survie de l'atelier « Assembly Design »
- 7 Analyse d'un assemblage
- 8 Liste des connexions
- 9 Exemple : barre articulée
- 10 Automatisation du processus d'optimisation**

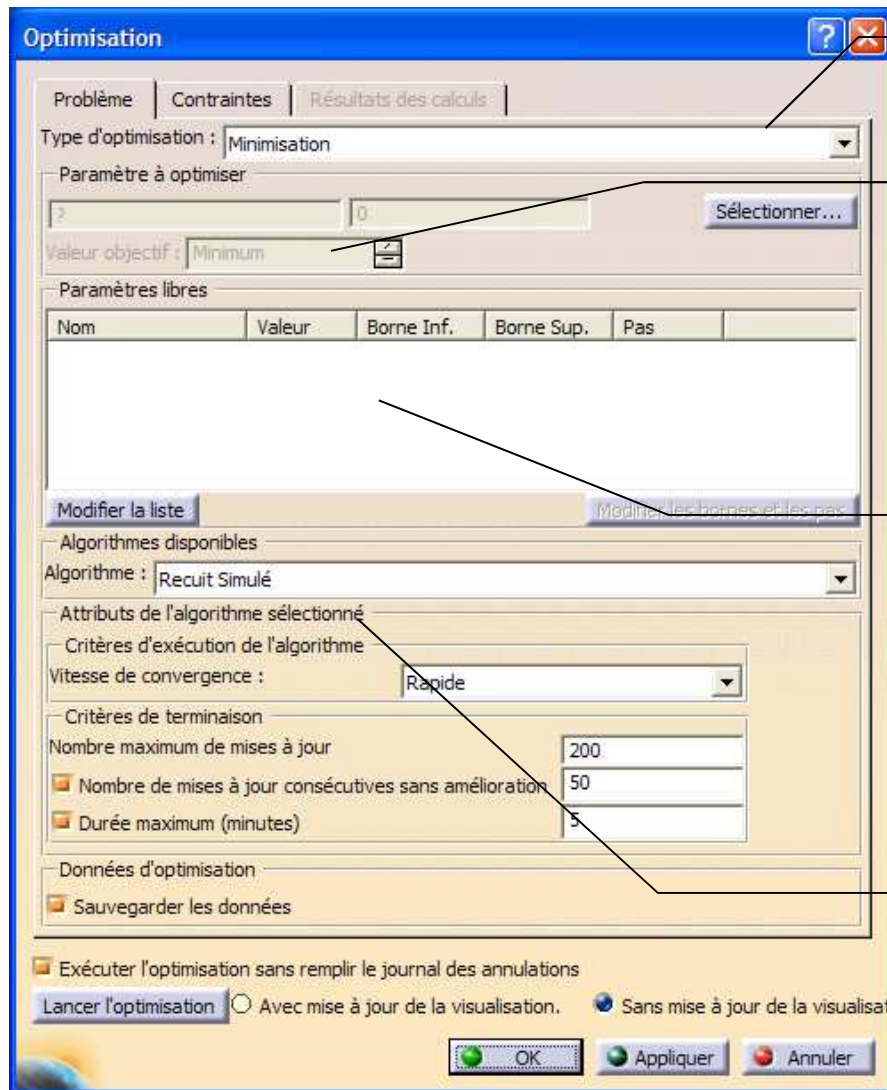
Automatisation du processus d'optimisation

L'intégration des différents modules CATIA V5 permet d'automatiser la boucle d'optimisation :



L'optimisation portera sur des paramètres du ***modèle géométrique*** et sera basée sur les résultats du ***calcul de structure***.

Paramètres de l'optimisation



Type d'optimisation

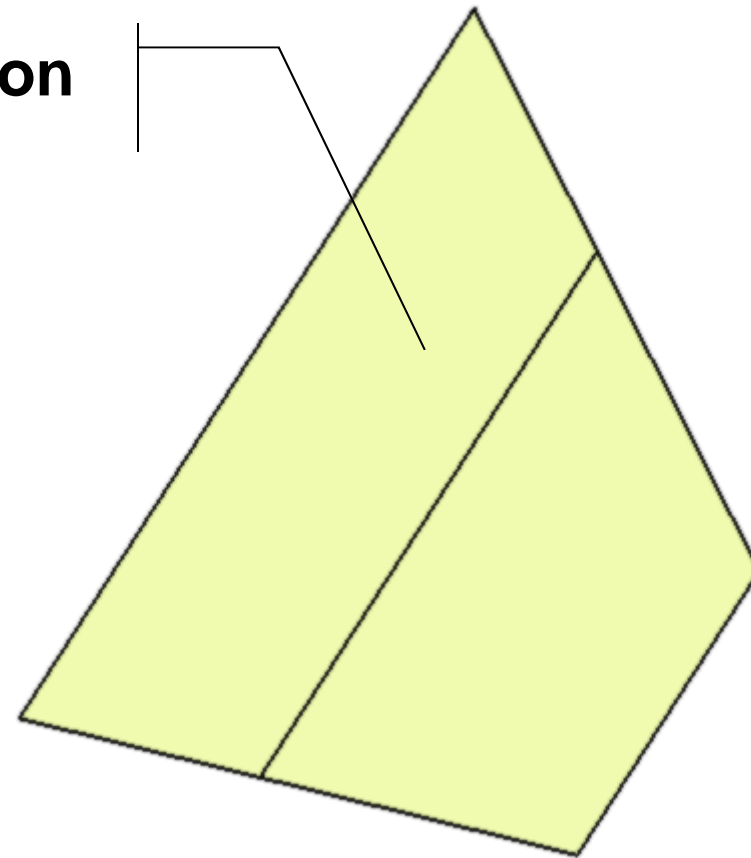
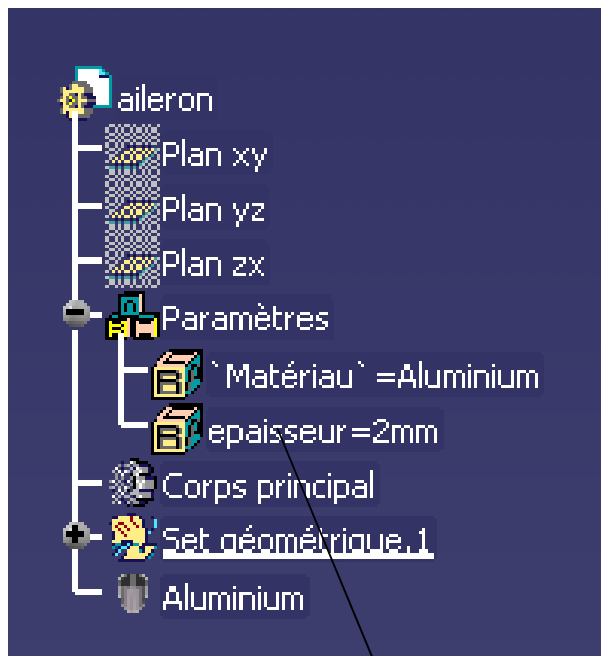
Valeur objectif issue du calcul : flèche, contrainte, fréquence etc

Paramètres libres issus du modèle géométrique : épaisseur, rayon d'un congé etc

Type d'optimisation

Exemple : Définition du modèle géométrique

Modèle surfacique de l'aile



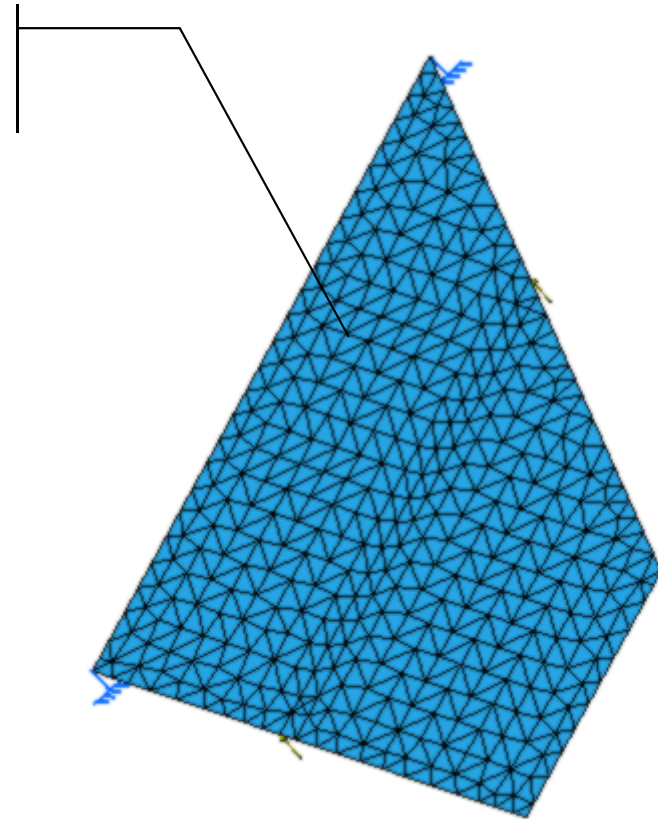
Paramètre géométrique
(non utilisé pour la modélisation géométrique)

Exemple : Définition du modèle d'analyse

Modèle d'analyse de l'aileron



A lier au paramètre défini en Part Design

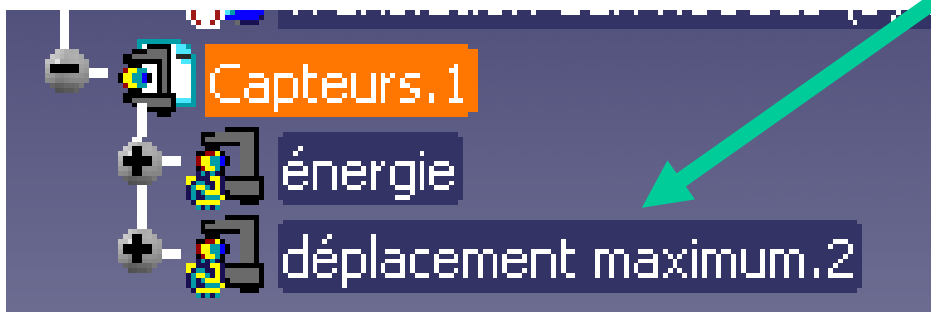
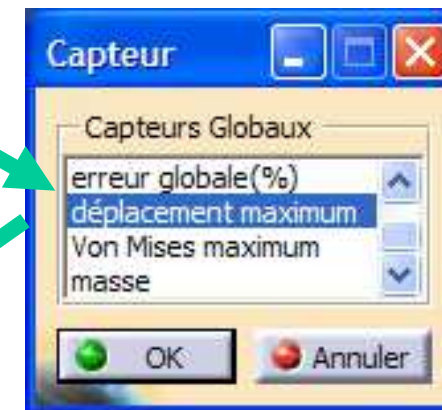


**Lancer un premier calcul
pour avoir une valeur de référence**

Exemple : Définition d'un capteur global

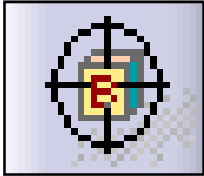


Bouton droit
« Créer un capteur global »

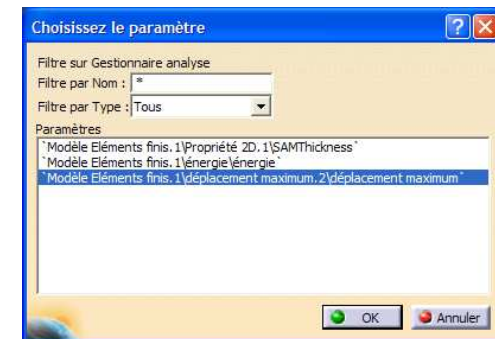


Exemple : Définition de l'optimisation

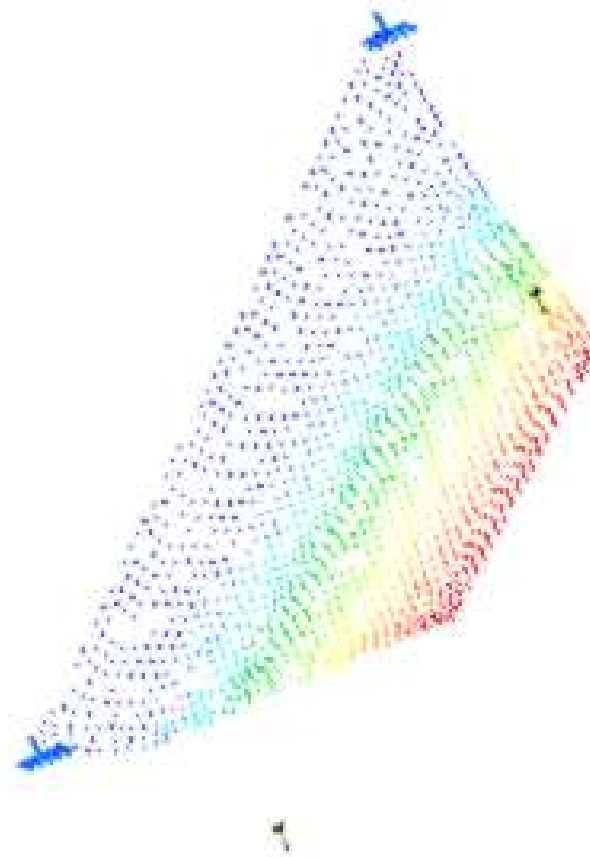
Activer l'atelier « Gestion de la connaissance / PEO »

- Définir une nouvelle optimisation via l'icône ci-contre 
- Type d'optimisation = « Valeur objectif »
- Sélectionner = « Déplacement maximum »
- Valeur objectif = « 33 mm »
- Paramètre libre = « epaisseur »

- Lancer l'optimisation

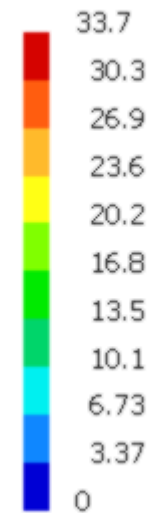


Exemple : Résultat de l'optimisation



Translation aux noeuds (symbole).1

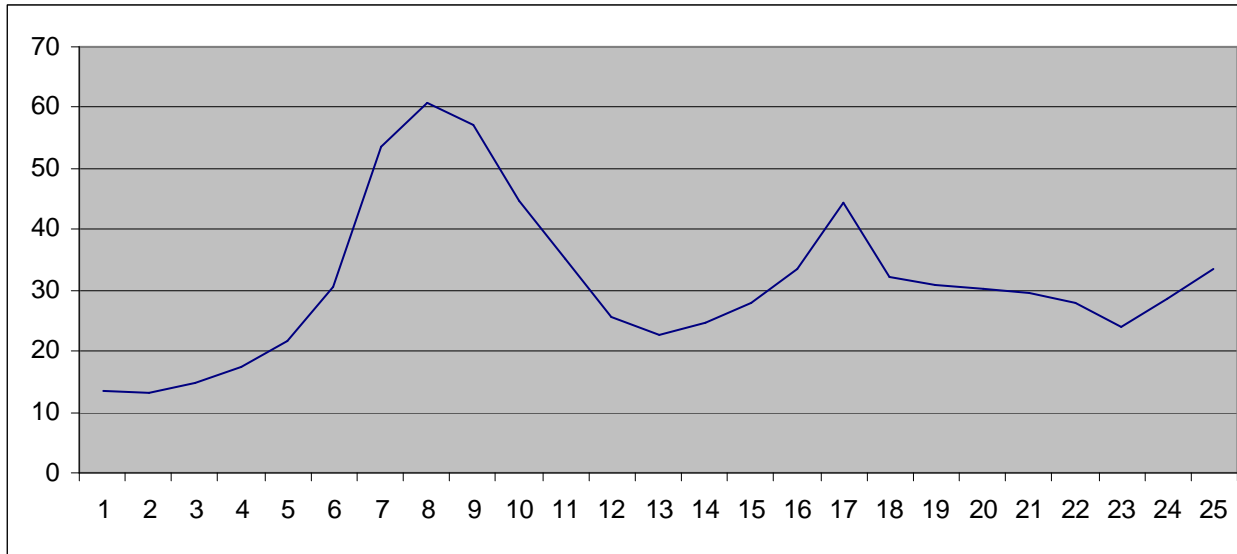
mm



Uniquement sur la peau

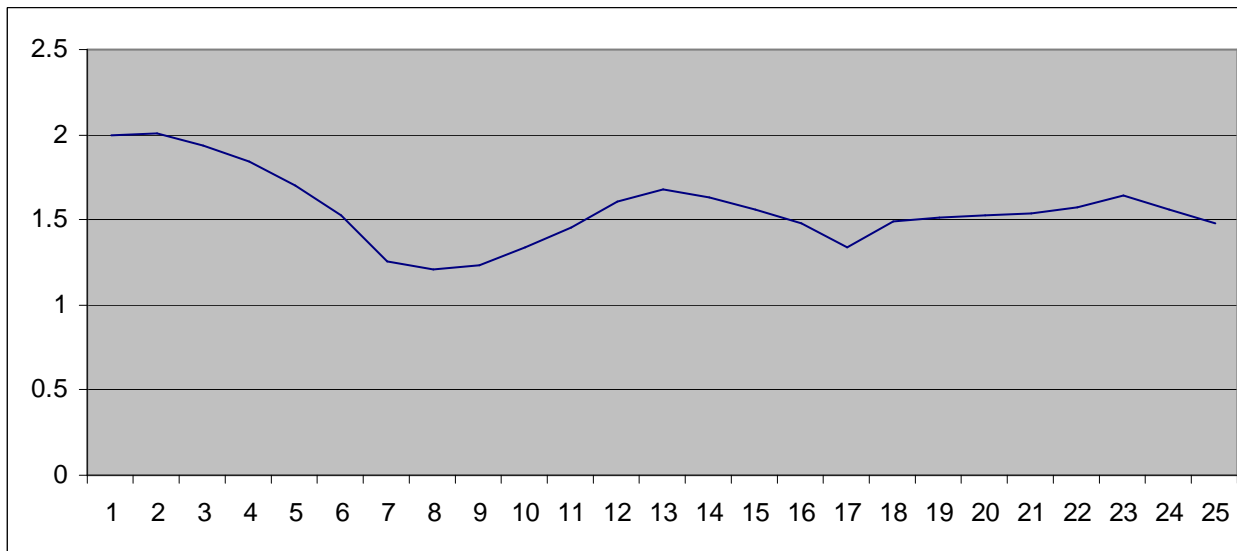
Exemple : Résultat de l'optimisation

flèche



itérations

épaisseur



itérations